



**შ.პ.ს. ჯეოინჟინირინგი**  
საინჟინრო კვლევა-ძიება, დაპროექტება, მშენებლობა

**საქართველოში, დარიალის ხეობაში გზის ახალი  
ბვირაბის გეოტექნიკური გამოკვლევის შედეგები**

**ტექნიკური ანგარიში**

თბილისი,  
2017



შ.პ.ს. ჯეოინჟინირინგი  
საინჟინრო კვლევა-ძიება, დაპროექტება, მშენებლობა

საქართველოში, დარიალის ხეობაში გზის ახალი  
გვირაბის გეოტექნიკური გამოკვლევის შედეგები

## ტექნიკური ანგარიში

გენერალური დირექტორი

ლ. მიქაბერიძე

საინჟინრო კვლევების განყოფილების  
დირექტორი

ლ. გორგიძე

თბილისი,  
2017

ს ა რ ჩ ე ვ ი

ტექსტური ნაწილი

ბრავიკული ნაწილი.....	4
1. შესავალი.....	5
2. ბუნებრივი გარემოს დასასიათება.....	7
2.1 კლიმატი.....	7
2.2 გეომორფოლოგია და რელიეფი.....	8
2.3 გეოლოგიური აგებულება.....	9
2.4 ნაკრალოვანი ტექტონიკა.....	12
2.5 სამშენებლო ტერიტორიის სეისმური საშიშროების შეფასება.....	19
2.6 ჰიდროგეოლოგიური პირობები.....	24
3. ბრუნთების შედგენილობა, მდგომარეობა და ფიზიკურ- მექანიკური თვისებები.....	26
3.1 კლდოვანი ქანები.....	26
3.2 არაკლდოვანი ბრუნთები.....	28
4. საინჟინრო-გეოლოგიური პირობები.....	31
5. დასკვნები და რეკომენდაციები.....	37

**პრაქტიკული ნაწილი**

რიბითი №	ნახაზის დასახელება	ნახაზის ნომერი	ფურცლების რაოდენობა
1	საინჟინრო-გეოლოგიური რუკა, მასშტაბი 1:2000	GC-1701-1	1
2	გვირაბის გრძივი საინჟინრო-გეოლოგიური ჭრილი, I ვარიანტი. მასშტაბი 1:1000	GC-1701-2	1
3	გვირაბის გრძივი საინჟინრო-გეოლოგიური ჭრილი, II ვარიანტი. მასშტაბი 1:1000	GC-1701-3	1
4	განივი საინჟინრო-გეოლოგიური ჭრილები, მასშტაბი 1:1000	GC-1701-4	4

**დანართები**

დანართის №	დანართის დასახელება	ფურცლების რაოდენობა
1	გრუნტების ვერტიკალური ელექტროზონდირების შედეგები	11
2	ფოტოდოკუმენტაცია	2

## 1. შესავალი

წინამდებარე ტექნიკურ ანგარიშში წარმოდგენილია საქართველოში, დარიალის ხეობაში გზის ახალი გვირაბის გეოტექნიკური გამოკვლევის შედეგები.

გვირაბის განლაგების უბანი ადმინისტრაციულად მიეკუთვნება დაბა სტეფანწმინდის მუნიციპალიტეტს და განლაგებულია მისგან ჩრდილოეთით 8 კმ-მდე მანძილში, რუსეთ-საქართველოს საზღვართან ახლოს. კვლევები განხორციელდა შ.პ.ს. "Landsvirkjun Power ehf"-სა (დამკვეთი) და შპს „ჯეონინჟინირინგს“ (შემსრულებელი) შორის 2017 წლის 8 ინაგარს დადებული №GC-1701 ხელშეკრულების მიხედვით.

გეოტექნიკური ანგარიშის შინაარსი ემყარება ხელშეკრულებით განსაზღვრული საველე კვლევებისა და არსებული ფონდურ-ლიტერატურული მასალების მონაცემებს. საველე სამუშაოები მოიცავდა გვირაბის სამშენებლო ტერიტორიის რეკოგნოსცირებას და საპროექტო ზოლში არსებული გრუნტების კვლევას გეოფიზიკური მეთოდით, კერძოდ ვერტიკალური ელექტროზონდირებით (ვეზ). უმთავრესი მონაცემები-კი გვირაბის გეოლოგიური გარემოსა და გეოტექნიკური პირობების გაშუქებისათვის, აღებულია ამჟამად უკვე აშენებული „დარიალი-ჰეს“-ის სამშენებლო ტერიტორიის საინჟინრო-გეოლოგიური კვლევისა და გვირაბების საშემსრულებლო დოკუმენტაციის მრავალფეროვანი მასალიდან, რომელიც შპს „ჯეონინჟინირინგის“ მიერ შეიქმნა 2011-2015 წლებში. ჰეს-ის მშენებლობისათვის გამოკვლეული ტერიტორია მთლიანად მოიცავს საავტომობილო გვირაბის განლაგების უბანს, ხოლო მისი ერთ-ერთი გვირაბი (კერძოდ მიწისქვეშა საგენერატორო დარბაზთან მისასვლელი გვირაბი), განლაგებულია საპროექტო საავტომობილო გვირაბის ტრასის პარალელურად, იმავე ზოლში. ამდენად საველე კვლევების შედეგებსა და არსებულ მრავალფეროვან ფონდურ მასალაზე დამყარებული მონაცემები, მყარ საფუძველს ქმნის საავტომობილო გზის გვირაბის გეოტექნიკური პირობების სწორი ინტერპრეტაციისათვის.

საპროექტო მოსაზრების თანახმად, საავტომობილო გვირაბი უნდა განლაგდეს მდ. თერგის ხეობის იმ მონაკვეთში, სადაც თერგს უერთდება მარცხენა ფერდობიდან ჩამომდინარე მდ. დევდორაკი, რომელიც სათავეს იღებს მყინვარწვერის (ყაზბეგის) მთის ციცაბო ფერდობიდან და რომელშიც პერიოდულად ხდება დიდი ენერჯის მქონე მძლავრი სელური ნაკადების ფორმირება. სელური ნაკადები, თერგის ხეობის ფსკერის სივიწროვის პირობებში, ყოველთვის უქმნიდა საფრთხეს თერგის მარჯვენა ნაპირზე განლაგებულ გზას და სხვა კომუნიკაციებს, რამაც განაპირობა აქ გვირაბის მშენებლობის საჭიროება.

კვლევითი და კამერალური სამუშაოები, რომლებიც ხელშეკრულების პირობების მიხედვით შესრულდა გზის გვირაბის სამშენებლო უბნის გეოტექნიკური პირობების შეფასებისათვის, მოცემულია ქვემოთ მოყვანილ ცხრილ-1.1-ში.

ცხრილი 1.1 სამუშაოთა სახეობები და შესრულების ვადები

№	სამუშაოს აღწერა	ფაქტიური რაოდენობა
1	პერსონალის და აღჭურვილობის მობილიზაცია/დემობილიზაცია	1
2	ადრე ჩატარებული კვლევების და დარიალ ჰესის გვირაბების დოკუმენტაციის მონაცემების შესწავლა და ანალიზი	1
3	გვირაბის და გვირაბის სამხრეთ პორტალის საინჟინრო-გეოლოგიური რეკონსტრუქცია (დაახ. 1.4 კმ)	1
4	ვერტიკალური ელექტრო ზონდირება (30 მ სიღრმემდე), გვირაბის სამხრეთ პორტალიდან 350-390 მ სიგრძის მანძილზე	9
5	ტექნიკური ანგარიშის მომზადება სამუშაოების შედეგების საფუძველზე; ერთი ქართული და ერთი ინგლისური ეგზემპლარის ბეჭდვა. ანგარიში გრძივ გეოლოგიურ ჭრილებს სამხრეთი პორტალური უბნის განივ ჭრილებს.	1

2. ბუნებრივი გარემოს ღახასიათება

2.1 კლიმატი

საავტომობილო გვირაბის განთავსების უბნისა და მიმდებარე ტერიტორიის კლიმატური მახასიათებლები აღებულია საქართველოს სამშენებლო კლიმატოლოგიური ნორმიდან - პნ 01.05-08, დაბა სტეფანწმინდის მეტეოპუნქტის მონაცემების მიხედვით. აღნიშნული ნორმის ცხრილ 2-ში მოცემული ძირითადი მახასიათებლების მიხედვით, საპროექტო ტერიტორია მიეკუთვნება I<sub>გ</sub> ქვერაიონს. კლიმატური მახასიათებლები მოყვანილია ქვემოთ მოყვანილ ცხრილებში.

ცხრილი 2.1.1 კლიმატური ქვერაიონის ძირითადი კლიმატური მახასიათებლები

კლიმატური რაიონი	კლიმატური ქვერაიონი	იანვრის საშუალო ტემპერატურა, °C	ზამთრის 3 თვის ქარის საშუალო სიჩქარე, მ/წმ	ივლისის საშუალო ტემპერატურა, °C	ივლისის ფარდობითი ტენიანობა, %
I	I <sub>გ</sub>	-4-დან -14-მდე	-	+12-დან +21-მდე	-

ცხრილი-2.1.2 ჰაერის ტემპერატურა და ტენიანობა

№	კლიმატური მახასიათებელი	თვეების მიხედვით												წლიური
		I	II	III	IV	V	VI	VII	VIII	IX	X	XI	XII	
1	ჰაერის საშუალო თვიური და წლიური ტემპერატურა, °C	-5.2	-4.7	-1.5	4.0	9.0	11.8	14.4	14.4	10.6	6.6	1.5	-2.6	4.9
2	ჰაერის ტემპერატურის აბსოლუტური მინიმუმი, °C	-34												
3	ჰაერის ტემპერატურის აბსოლუტური მაქსიმუმი, °C	32												
4	ყველაზე ცხელი თვის საშუალო მაქსიმუმი, °C	-	-	-	-	-	-	20.3	-	-	-	-	-	-
5	ჰაერის ტემპერატურის ამპლიტუდა, °C	9.5	9.6	10.5	10.6	10.2	10.4	9.5	11.2	10.2	10.3	9.5	9.8	-
6	ჰაერის ფარდობითი ტენიანობა, %	62	63	66	69	70	71	74	72	72	67	64	61	68

ცხრილი-2.1.3 ნალექების რაოდენობა და თოვლის საფარი

ნალექების რაოდენობა წელიწადში, მმ	ნალექების დღელამური მაქსიმუმი, მმ	თოვლის საფარის წონა, კპა	თოვლის საფარის დღეთა რიცხვი	თოვლის საფარის წყალშემცველობა, მმ
786	111	0.84	104	180

ცხრილი-2.1.4 ქარის წნევის ნორმატიული მნიშვნელობები

W <sub>0</sub> 5 წელიწადში ერთხელ, კპა	W <sub>0</sub> 15 წელიწადში ერთხელ, კპა
0.23	0.30

ცხრილი-2.1.5 ქარის უდიდესი სიჩქარე, შესაძლებელი 1, 5, 10, 15, 20 წელიწადში ერთხელ, მ/წმ

1 წელიწადში	5 წელიწადში	10 წელიწადში	15 წელიწადში	20 წელიწადში
-------------	-------------	--------------	--------------	--------------

18	20	21	22	22
----	----	----	----	----

**ცხრილი-2.1.6 ქარის მიმართულების განმეორებადობა**

ქარის მახასიათებელი		მიმართულება								შტილი
		ჩ	ჩა	ა	სა	ს	სდ	დ	ჩდ	
ქარის მიმართულების განმეორებადობა (%)	იანვარი	11	1	1	4	70	13	0	0	-
	ივლისი	46	4	2	3	36	5	1	3	-
ქარის მიმართულების და შტილის განმეორებადობა (%) წელიწადში		25	2	1	4	57	9	1	1	33

**ცხრილი 2.1.7 გრუნტების სეზონური გაყინვის ნორმატიული სიღრმე, სმ.**

თისა და თისხარი გრუნტი	ქვიშა წვირილი და მტვირისებრი, ქვიშნარი	ქვიშა საშუალო და მსხვილი, ხრეშოვანი ქვიშა	მსხვილნატეხივანი გრუნტი
83	100	108	124

**2.2 გამოორფოლოგია და რელიეფი**

თერგის ხეობის ზედა ნაწილი სოფ. კობიდან დაბა სტეფანწმინდამდე ჩრდილო-აღმოსავლეთისკენ არის მიმართული, ხოლო სტეფანწმინდის ქვევით – ჩრდილოეთისაკენ. მისი ტალღევი (ხეობის ფსკერი) კობი-სტეფანწმინდის მონაკვეთზე დაახლოებით 200 მეტრით დაბლდება. მისი აბსოლიტური სიმაღლე სტეფანწმინდასთან 1730 მ. სიმაღლეზეა ზღვის დონიდან, ხოლო სტეფანწმინდიდან ქვევით, დარიალში, სადაც უნდა განთავსდეს საავტომობილო გვირაბი, თერგის კალაპოტს დიდი ვარდნა აქვს და ეს ნიშნული სოფ. გველეთის მიდამოებში 1350 მ-მდე, ხოლო საქართველოს ჩრდილოეთ საზღვარზე 1200 მ-მდე ეცემა. ხეობის მორფოლოგიაზე დიდი გავლენა მოუხდენია მისი ფორმირების გარკვეულ ეტაპზე ყუროს ქედიდან ჩამოსულ გრანდიოზულ მეწყერსა და მასზე განლაგებულ ყუროს ხევის დვარცოფულ გამონაზიდებს, რომელზეც ამჟამად დაბა სტეფანწმინდაა განლაგებული. დარიალის ხეობის დასაწყისად სწორედ ეს ზღუდე ითვლება, საიდანაც მდ. თერგის კალაპოტის დახრილობა და შესაბამისად დინების სიჩქარე მკვეთრად მატულობს.

დარიალის ხეობის ყველაზე ვიწრო კლდოვანი ნაწილი, რომლის ფარგლებშიც იქნება განთავსებული საავტომობილო გვირაბი, მდ. თერგისა და მისი შენაკადების ეროზიული მოქმედებით პალეოზოური გრანიტებისა და იურული ფიქლების მასივშია ჩატრილი. ხეობის მარჯვენა ფერდობზე, რომლის სიღრმეშიც გვირაბი უნდა განლაგდეს, ეროზიულ-დენუდაციური პროცესებით სხვადასხვა ხასიათის რელიეფური ფორმებია წარმოქმნილი. ფერდობზე არსებული რელიეფის ფორმების სხვადასხვაობას განაპირობებს მისი ლითოლოგიური და ტექტონიკური სტრუქტურა, მასივში კლდოვანი, ნაპრალოვანი ქანების, მეოთხეული მყინვარული და მდინარეული ნალექების, აგრეთვე კოლუვიური ქვარილებისა და პროლუვიური (დვარცოფული) წარმონაქმნების არსებობა. მდინარის მარჯვენა ნაპირის გასწვრივ კლდოვანი ქარაფები მორიგეობს მათ შორის არსებულ ეროზიულ ხევებთან, რომელთა ფსკერი ყველგან ჩამონაშალი ნამსხვრევი (კოლუვიური) ღორღითა და ლოდებითაა დაფარული. ამდენად, მდ. თერგის უტყეო, ზოგან ბუჩქნარიანი ხეობისათვის დამახასიათებელია ეროზიითა და სხვა აქტიური დენუდაციური პროცესებით წარმოქმნილი რთული და მკაცრი რელიეფური პირობები.





შედარებით ვიწრო ზოლში განლაგებული კიდურა ფაციესები და ფიქლებრივი ტექსტურები.

დარიალის მასივის ფარგლებში ფართოდ არის განვითარებული სხვადასხვა სიმძლავრის დიაბაზების დაიკები. ისინი ნაჩვენებია საინჟინრო-გეოლოგიურ რუკაზე და ჭრილებზე (იხ. ანგარიშის გრაფიკული ნაწილი).

მდ. თერგის ხეობაში დიაბაზების დაიკები გავრცელებულია მთავარი ქედის ზონაში და ყაზბეგ-ლაგოდეხის ზონის ჩრდილო კიდეში, რომლებიც ძირითადად წარმოდგენილია სინემიურ-პლინსბახ-ქვედატოარსული, ძლიერ დეფორმირებული ასპიდური ფიქლებით. ისინი განთავსებულია აგრეთვე გვიანპალეოზოური ასაკის დარიალისა და გველეთის გრანიტოიდული მასივების ფარგლებში.

ინტენსიურად დისლოცირებული ქვედაიურული ფიქლებიანი დასტა გამსჭვალულია დიდი რაოდენობით მისი გამკვეთი სუბვერტიკალური კლივაჟის სიბრტყეებით და ბლანტი და მყიფე პატარა რღვევების ზედაპირებით. დარიალის გრანიტოიდებში კი არათანაბრად არის განვითარებული ფიქლებრივობის ციცაბო სიბრტყეები, რომლებიც მასიური აგებულების ქანების მონაკვეთებთან მორიგეობენ. ამ სტრუქტურული ელემენტების გასწვრივ უმთავრესად ინტრუზიულად შემოჭრილია და განლაგებულია დიაბაზები, რომლებიც დაიკების მთავარ სისტემას ქმნიან. ისინი ზოგჯერ კვეთენ კლივაჟისა და შრეებრიობის ზედაპირებს, მაგრამ მიუხედავად მათ შემცველ დანალექ ქანებში განვითარებული ძლიერ დანაოჭებისა, თვითონ დაიკები დისლოცირებულნი არ არიან.

დარიალის ხეობაში დიაბაზების დაიკები სხვადასხვა მიმართულებებით ხასიათდება და სამხრეთიდან ჩრდილოეთისაკენ მათ ორიენტაციებში მნიშვნელოვანი განსხვავებები აღინიშნება. კისტინკის წყებაში და გველეთის გრანიტოიდებში გავრცელებულია სუბგანედური ( $270-285^\circ$ ) მიმართებების მქონე დიაბაზების სხეულები, რომლებსაც ამ ხეობაში ყველაზე მეტად წარმოდგენილი მიმართებები გააჩნიათ. დიაბაზების დაიკების ორიენტაცია იცვლება დარიალის დაფიქლებულ და მასიურ გრანიტოიდებში, სადაც მათი მიმართებები ისევ სამხრეთ-დასავლური ( $240-260^\circ$ ) ხდება.

ყველა ორიენტაციის მქონე დიაბაზების სხეულების გავრცელების არეებში ზოგჯერ განლაგებულია სუბმერიდიონალური ( $335-345^\circ$ ) მიმართულებების გარდღივად დაიკები. ისინი კვეთენ სუბგანედური მიმართებების დაიკებს, რაც მათ შედარებით უფრო ახალგაზრდა ასაკზე მიუთითებს.

მთლიანობაში გრანიტული მასივების ფარგლებში და აგრეთვე მათ შემცველ ასპიდურ ფიქლებში განვითარებულია სუბგანედური, სამხრეთ-დასავლური, ჩრდილო-დასავლური და სუბმერიდიანული მიმართებების მქონე დიაბაზების დაიკები. მათი სიმძლავრეები 0.3-8 მ-ის საზღვრებში იცვლება, იშვიათად კი 10-20 მ-ს აღწევს. დაიკების განლაგება, როგორც წესი, ციცაბოა –  $70-85^\circ$ , ხან კი  $60^\circ$  ან  $90^\circ$ , და ისინი დახრილია სამხრეთით ან ჩრდილოეთით. დარიალის ხეობაში წარმოდგენილი დიაბაზების დაიკების მიმართულებების დადგენით ირკვევა, რომ ისინი შეჭრილი არიან სხვადასხვა გენეზისის ნაპრალოთა სისტემებში. გრანიტოიდებში გავრცელებული დიაბაზების დაიკები უმთავრესად განლაგებულია გაჭიმვით სტრუქტურებში, რომლებიც მიეკუთვნებიან სხლეტვის ნაპრალებს (სამხრეთ-დასავლური და ჩრდილო-დასავლური მიმართებების მქონე სხეულები), ხოლო მათი მცირე ნაწილი განვითარებულია მოწყვეტის ნაპრალებში (სუბმერიდიონალური დაიკები) და შეკუმშვითი წარმოშობის ფიქლებრიობის ზედაპირების გასწვრივ. ქვედაიურულ მეტამორფულ თიხა-ფიქლების დასტებში კი დიაბაზების დაიკები ძირითადად განთავსებულია კლივაჟის სიბრტყეებში, რომლებიც გაბრტყელების ნაპრალებს



- II.  $69-95^\circ/25-56^\circ$
- III.  $115-140^\circ/6-89^\circ$
- IV.  $202-230^\circ/5-36^\circ$
- V.  $237-283^\circ/25-76^\circ$
- VI.  $312-358^\circ/16-47^\circ$

რამდენიმე ობიექტზე დაიკვირვება შედარებით უმნიშვნელო ნაპრალოთა სისტემები, როგორებიცაა:

- VII.  $8-15^\circ/55-65^\circ$
- VIII.  $150-190^\circ/16-88^\circ$
- IX.  $295-305^\circ/25-75^\circ$

ძირითადი ვექტორული კომპონენტი გასაშუალების შემდეგ შეგვიძლია გამოვსახოთ პროცენტებში, რაც ნაპრალოთა სისტემების განაწილების საშუალებას მოგვცემს. პირველი სისტემის ნაპრალები შეადგენენ საერთო რაოდენობის 6% ( $24-39^\circ/4-37^\circ$ ), მეორე სისტემის ნაპრალები 7% ( $69-95^\circ/25-56^\circ$ ), მესამე სისტემის ნაპრალები 6% ( $115-140^\circ/6-89^\circ$ ), მეოთხე სისტემის ნაპრალები 15% ( $202-230^\circ/5-36^\circ$ ), მეხუთე სისტემის ნაპრალები 21% ( $237-283^\circ/25-76^\circ$ ) და მეექვსე სისტემის ნაპრალები კი 16% ( $312-358^\circ/16-47^\circ$ ). ძირითადი დაბაბულობის ტენზორი (ან მიმართულება) კი N მიმართულებისაა - ( $0(360)^\circ/82^\circ$ ). ნაპრალების ყველა სისტემა კავკასიონის აზეგების თანადროულია.

აქვე უნდა აღინიშნოს, რომ ნაკლებად გავრცელებული ნაპრალები, რომლებიც ეცემიან ჩრდილო-დასავლეთით ( $295-305^\circ$ ) ირიბი კუთხეებით ( $25-75^\circ$ ) კვეთენ ყველა ზემოთ აღნიშნულ ნაპრალოთა სისტემას და შესაბამისად უფრო ახალგაზრდებია. მსგავსი ნაპრალოთა სისტემა ძირითადად დაკავშირებულია კუმშვით ძალებთან, გამოვლენილს დანაოჭების გვიანალპურ ეტაპზე.

ქვემოთ მოცემულია ქანების ნაპრალიანობის მახასიათებლები, ნაჩენების მიხედვით.

**ნახედი № 4**

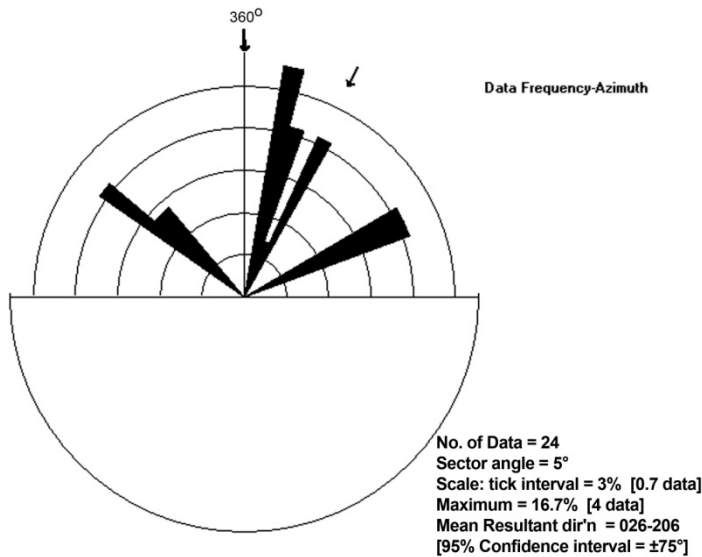
კოორდინატები: X = 469473 , Y= 4728834

ქანების შემადგენლობა:  $\gamma PZ_3$ - გველეთის გრანიტული მასივი. ღია-ნაცრისფერი გრანიტოიდები და გნეისები. მუქი-ნაცრისფერი დიაბაზების დაიკები

**ნაპრაღიანობის მახასიათებლები**

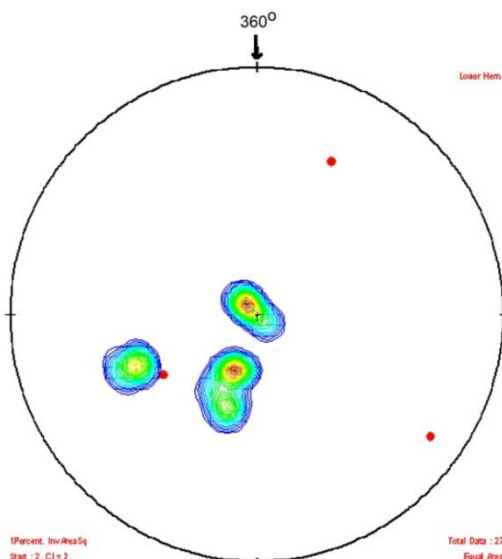
N	დაქანების აზიმუტი, გრად	დახრის კუთხე, გრად	N	დაქანების აზიმუტი, გრად	დახრის კუთხე, გრად	N	დაქანების აზიმუტი, გრად	დახრის კუთხე, გრად
1	310	82	9	210	65	17	195	70
2	310	86	10	195	55	18	195	72
3	320	84	11	195	60	19	245	45
4	315	88	12	200	70	20	245	48
5	130	85	13	205	70	21	248	48
6	140	88	14	200	60	22	250	40
7	315	85	15	200	55	23	245	40
8	210	70	16	210	60	24	250	47

Dariali HPP - Outcrop # 04



ნახაზი 1. ვარდი-ღიაგრამა

Dariali HPP - Outcrop # 04



**Trend Plunge Type**

26	32	Eig 1
125	15	Eig 2
237	53	Eig 3

ნახაზი 2. ნაპრაღიანობის სისტემის ჯამური ღიაგრამა (წითელი წრეებით აღნიშნულია ძირითადი ვექტორები)

ნახედი № 5

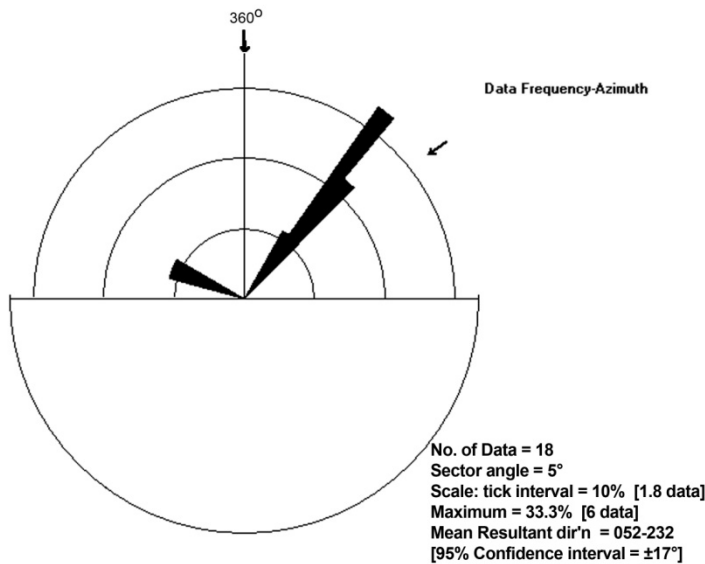
კოორდინატები: X = 469488, Y = 4729456

ქანების შემადგენლობა: PZ<sub>3</sub>. ზედა პალეოზოური. კისტინკის წყება. გველეთის მასივის ჩრდილოეთი კონტაქტი. მომწვანო და მონაცრისფრო ზოლებრივი მეტამორფიტებისა და ალევროლიტების მორიგეობა.

ნაპრალიანობის მახასიათებლები

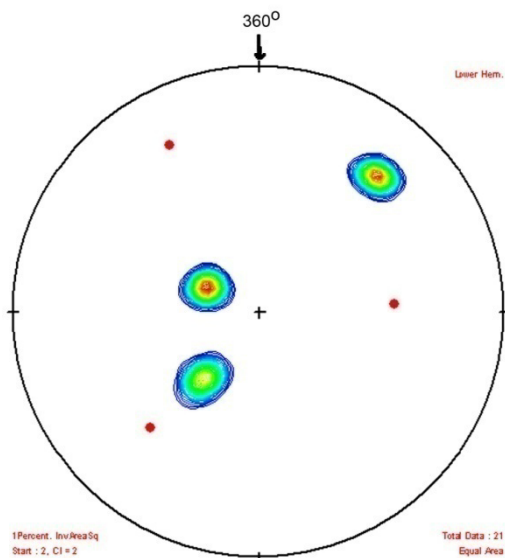
N	დაქანების აზიმუტი, გრად	დახრის კუთხე, გრად	N	დაქანების აზიმუტი, გრად	დახრის კუთხე, გრად
1	220	60	10	295	75
2	220	65	11	295	72
3	215	65	12	300	72
4	215	60	13	40	26
5	225	60	14	40	30
6	220	55	15	38	30
7	290	70	16	43	25
8	290	68	17	43	30
9	300	70	18	43	26

Dariali HPP - Outcrop # 05



ნახაზი 1. ვარდი-დიაგრამა

Dariali HPP - Outcrop # 05



Trend Plunge Type

87 44 Eig 1  
223 36 Eig 2  
332 24 Eig 3

ნახაზი 2. ნაპრალიანობის სისტემის ჯამური დიაგრამა (წითელი წრეებით აღნიშნულია ძირითადი ვექტორები)

ნახენი № 6

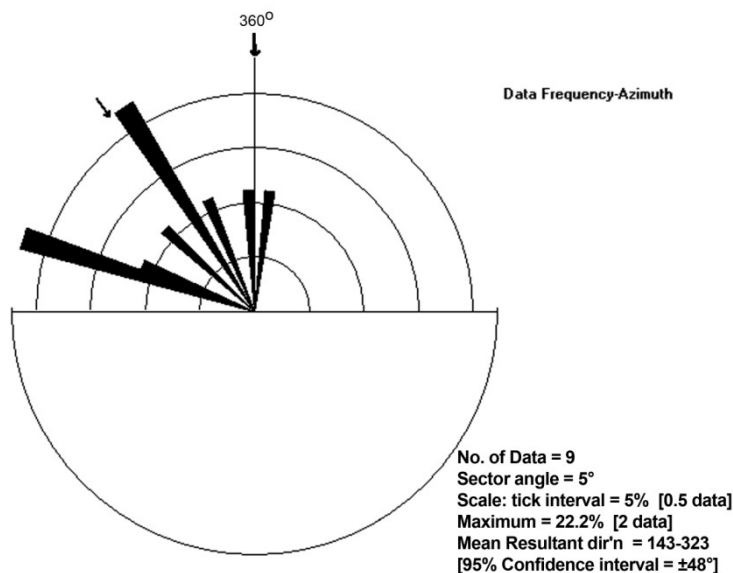
კოორდინატები: X = 469797, Y = 4730861

ქანების შემადგენლობა:  $\gamma PZ_3$ . დარიალის გრანიტული მასივი. ღია-ნაცრისფერი გრანიტ-ოიდეები და გნეისები. მუქი-ნაცრისფერი დიაბაზების დაიკები

ნაპრაღიანობის მახასიათებლები

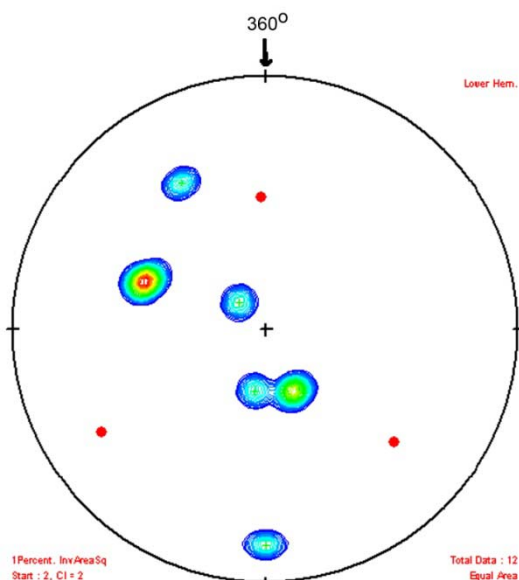
N	დაქანების აზიმუტი, გრად	დახრის კუთხე, გრად	N	დაქანების აზიმუტი, გრად	დახრის კუთხე, გრად
1	190	70	6	290	48
2	160	68	7	290	45
3	315	78	8	150	68
4	330	34	9	180	16
5	295	50			

Dariali HPP - Outcrop # 06



ნახაზი 1. ვარდი-დიაგრამა

Dariali HPP - Outcrop # 06



Trend Plunge Type

131	33	Eig 1
358	47	Eig 2
238	25	Eig 3

ნახაზი 2. ნაპრაღიანობის სისტემის ჯამური დიაგრამა (წითელი წრეებით აღნიშნულია ძირითადი ვექტორები)

ნაჩენი № 7

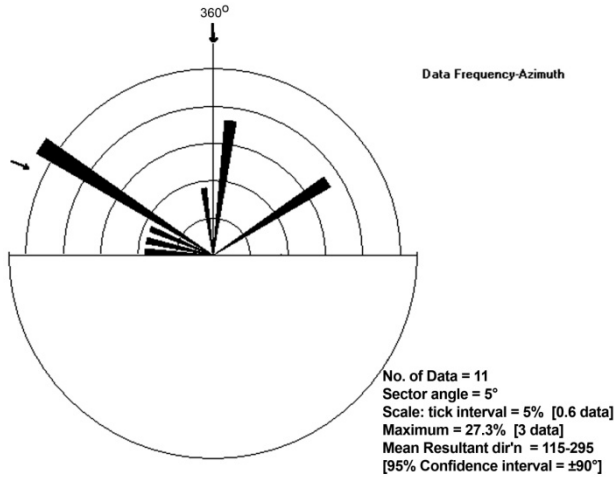
კოორდინატები: X = 469800, Y = 4730439

ქანების შემადგენლობა: yPZ<sub>3</sub>. დარიალის გრანიტული მასივი. ღია-ნაცრისფერი გრანიტოიდები და გნეისები. მუქი-ნაცრისფერი დიაბაზების დაიკები

ნაპრალიანობის მახასიათებლები

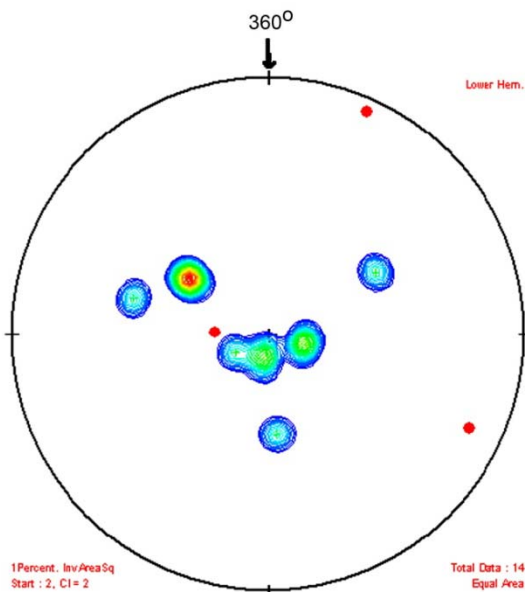
N	დაქანების აზიმუტი, გრად	დახრის კუთხე, გრად	N	დაქანების აზიმუტი, გრად	დახრის კუთხე, გრად
1	190	80	7	305	58
2	190	85	8	115	78
3	305	58	9	60	50
4	305	62	10	175	58
5	285	45	11	240	78
6	95	78			

Dariali HPP - Outcrop # 07



ნახაზი 1. ვარდი-დიაგრამა

Dariali HPP - Outcrop # 07



Trend Plunge Type

115	15	Eig 1
24	6	Eig 2
272	73	Eig 3

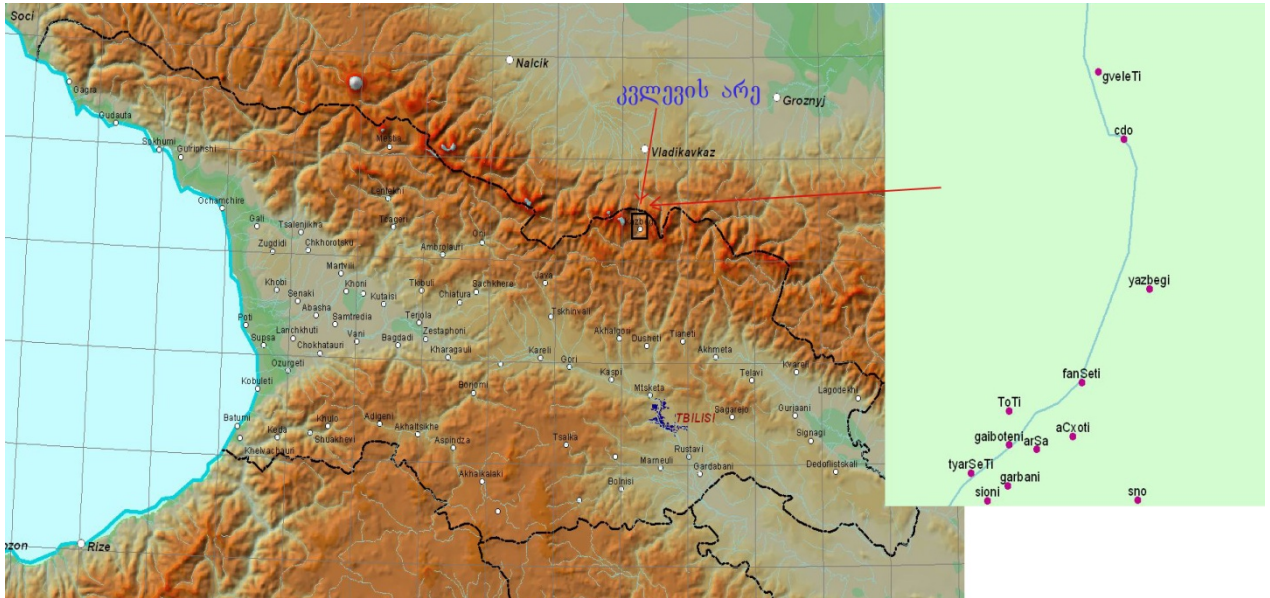
ნახაზი 2. ნაპრალიანობის სისტემის ჯამური დიაგრამა (წითელი წრეებით აღნიშნულია ძირითადი ვექტორები)



2.5 სამშენებლო ტერიტორიის სეისმური საშიშროების შეფასება

საკვლევი ტერიტორია

სეისმური საშიშროება შეფასებულია შემდეგი საკვლევი ტერიტორიისათვის: გრძელი – 44.58-დან 44.69-მდე; განედი – 42.62-დან 42.71 (სურ.1).



სურ.1. კვლევის არე.

რეგიონის ტექტონიკა

საქართველო მდებარეობს კავკასიაში, რომელიც ერთ-ერთ სეისმურად აქტიურ რეგიონს წარმოადგენს ალპურ-ჰიმალაურ კოლიზიის სარტყელში. როგორც ისტორიული ასევე ინსტრუმენტული მონაცემების ანალიზი გვიჩვენებს, რომ რეგიონი ხასიათდება ე. წ. საშუალო სეისმურობით, როდესაც ძლიერი მიწისძვრები მაგნიტუდით 7 და ეპიცენტრში მაკროსეისმური ინტენსივობით 9 ბალი (MSK სკალა) ხდება,  $10^3-10^4$  წლის განმეორადობით.

საქართველოში სეისმურობა ასახავს რეგიონის ძირითად ტექტონიკას, რომელსაც განაპირობებს არაბეთის ფილაქნის მოძრაობა ჩრდილოეთის მიმართულებით, რაც თავის მხრივ იწვევს თურქეთის და ირანის ფილაქნების გასხლეტვას შესაბამისად დასავლეთის და აღმოსავლეთის მიმართულებებით, კავკასიონის ქედის აღზევებას და ძირითადად შეცოცების ტიპის სეისმურად აქტიური რღვევების ფორმირებას.

საქართველოს ტერიტორიაზე სიღრმული რღვევების გამოყოფა სხვადასხვა ნიშანთა ერთობლიობის საფუძველზე მოხდა. საქართველოს ტერიტორიაზე სიღრმული რღვევები ფართოდაა გავრცელებული. მათი უმრავლესობა ფარულია (რღვევის სიბრტყე უშუალოდ დედამიწის ზედაპირზე არ გამოდის) და მათი თავისებურებანი დგინდება სტრუქტურული, მაგმატური, სედიმენტაციური, აეროკოსმოდემიფორირების, ბურღვის და სხვა გეოლოგიური და აგრეთვე სხვადასხვა გეოფიზიკური (გრავიმეტრიული, მაგნიტური, სეისმური, ღრმა სეისმური ზონდირების და სხვა) მონაცემების საფუძველზე. გარდა ამისა, მნიშვნელოვანია ამ რეგიონის მიწის ქერქის დეფორმაციული სტრუქტურების გვიანალპური (ნეოტექტონიკური), მათ შორის თანამედროვე, კინემატიკისა ანუ





ალოგი მოიცავს ინფორმაციას 57000 მეტ მიწისძვრაზე კავკასიის რეგიონში დაწყებული პერიოდით ჩვენს წელთაღრიცხვამდე და დამთავრებული 2010 წლის ჩათვლით, მათ შორის 300-მდე მიწისძვრა ისტორიულია (1900 წლამდე). სპეციალური ალგორითმის საშუალებით კატალოგი გაიწმინდა ფორმოკების, აფთერმოკებისა და სეისმური გუნდებისაგან და შედეგად ე. წ. დამოუკიდებელ მიწისძვრათა კატალოგი მივიღეთ, რომლებიც პუასონურ განაწილებას ემორჩილება. თითოეული სეისმური კერის ზონის სეისმური აქტივობის შესაფასებლად შერჩეული იქნა მიწისძვრები 1962-2010 წლების დროით პერიოდში და 2.5-ზე მეტი მაგნიტუდით (წარმომადგენლობითი მაგნიტუდა). მიწისძვრების მიკუთვნება ამა თუ იმ კერისათვის მოხდა ეპიცენტრის განსაზღვრისას მიღებული ცდომილებების გათვალისწინებით, რათა დათვლილი ყოფილიყო გუტენბერგ-რიხტერის განაწილება. ეპიცენტრის განსაზღვრის ცდომილების გასაშუალოებული მოდელი იქნა შერჩეული იმ დაშვებით, რომ აღნიშნული ცდომილება ნორმალურ განაწილებას ექვემდებარება, სტანდარტული გადახრით 3.4 კმ. თითოეული კერის ზონისათვის განხილული იქნა მხოლოდ მიწისძვრები, რომელთა ეპიცენტრებიც სამ სტანდარტულ გადახრაზე ახლო მანძილზე იმყოფებოდა. სწორედ სხვადასხვა კერიდან დაშორების მიხედვით მიწისძვრებს მიენიჭა გარკვეული წონები, ნორმალური განაწილების ალბათური-სიმკვრივის მრუდის მიხედვით. საბოლოოდ თითოეული მიწისძვრის სხვადასხვა კერებზე მიკუთვნების წონები იქნა ნორმირებული, ისე რომ მათ ჯამს ერთი შეედეგინა. აღნიშნული გათვლები ჩატარებული იქნა სპეციალურად დაწერილი პროგრამული კოდების გამოყენებით. თითოეული სეისმური კერის ზონისათვის მიღებული მაგნიტუდურ რაოდენობრივი განაწილება ნორმალიზირებული იქნა დროში და **a** და **b** კოეფიციენტები იქნა დათვლილი უმცირეს კვადრატთა მეთოდის გამოყენებით. მიღებული შედეგები მოცემულია ცხრილ-1-ში.

**ცხრილი -1 - სეისმური კერის ზონების პარამეტრები**

დასახელება	აბრევ.	Mmax	A	B
Gebi – Lagodexi	f1	7.0	3.105	-0.927
Main thrust of The Greater Caucasus	f2	7.0	2.315	-0.738
Frontal overthrust of the Caucasus nappes	f3	6.5	2.608	-0.926
Loki – Agdam	f4	6.5	3.392	-0.985
Southern marginal of Adjara - Trialeti zone	f5	6.5	2.172	-0.748
Gagra – Java	f6	7.0	1.646	-0.518
Frontal overthrust of molasse napple	f7	5.5	1.459	-0.602
Tbilisi fault	f8	5.5	0.485	-0.500
Asa-Aragvi	f9	6.5	1.439	-0.662
Northern marginal of Adjara - Trialeti zone	f10	7.0	2.034	-0.726
Borjomi-Kazbegi	f11	6.5	3.160	-0.942
Javakheti Zone	Jav	6.5	3.405	-0.913

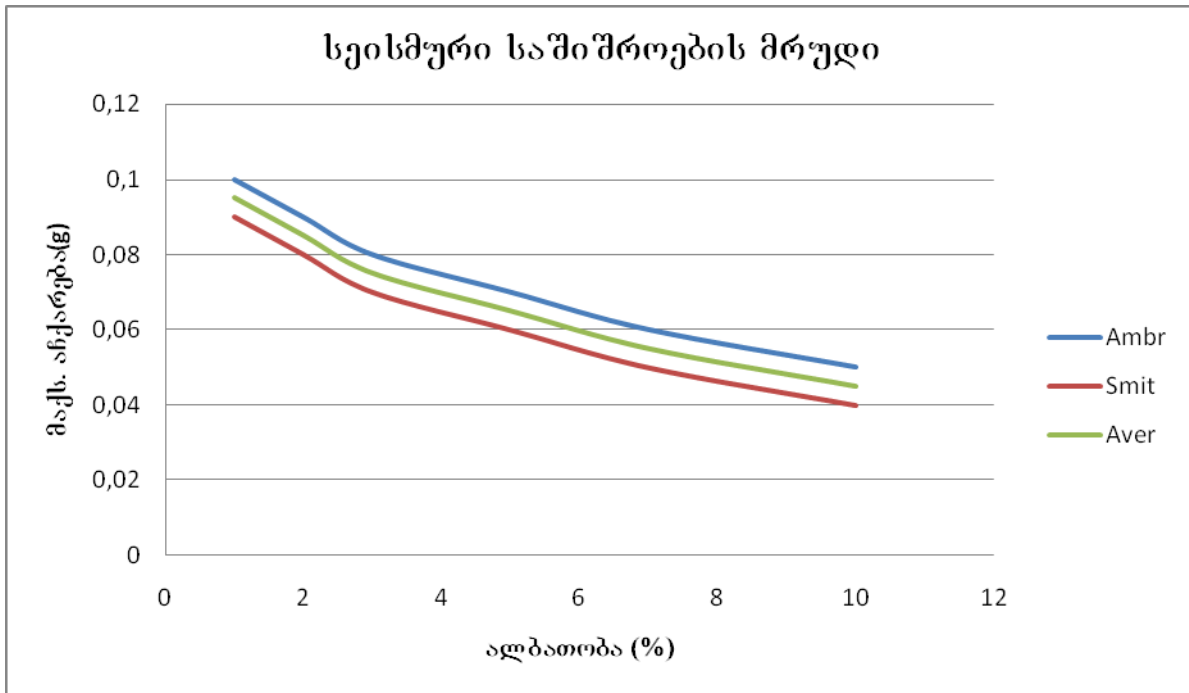
**მიწისძვრის ეფექტის შეფასება**

მიწისძვრათა ეფექტი შეფასებული იქნა ორი სხვადასხვა პარამეტრის გამოყენებით: გრუნტის მაქსიმალური აჩქარება PGA (ჰორიზონტული) და გრუნტის მაქსიმალური აჩქარება PGA (ვერტიკალური). გამოყენებული იქნა დაცხრომის ორი მოდელი (Smit et al 2000) და (Ambraseys et al. 1996)

**სეისმური საშიშროების შეფასება**

კორნელის მეთოდი, კერძოდ კომპიუტერული პროგრამა SEISRISK III (ბენდერი და პერკინსი 1987), იქნა გამოყენებული გამოთვლებისათვის. ე. წ. ლოგიკური





სურ. 4. სეისმური საშიშროების მრუდი ვერტიკალური აჩქარებებისათვის

უნდა აღინიშნოს, რომ ცხრილი 2 და 3-ში მითითებული მნიშვნელობები 10%-იანი ალბათობებისათვის შეესაბამება სწორედ 475 წლიან პერიოდს (ცხრილი 4)

ცხრილი 2.4.4 - პორიზონტალური და ვერტიკალური აჩქარებები 475 წ.

საშუალო დაბ.პერ. 475 წ.	პორიზონტალური	ვერტიკალური
<b>Ambr</b>	<b>0.07</b>	<b>0.05</b>
<b>Smit</b>	<b>0.06</b>	<b>0.04</b>
<b>Aver.</b>	<b>0.065</b>	<b>0.045</b>

## 2.6 ჰიდროგეოლოგიური პირობები

საავტომობილო გვირაბის განლაგების ტერიტორიაზე მიწისქვეშა წყლები, ცირკულაციის ტიპის მიხედვით, ორი ნაწილად იყოფა, - ფორული ცირკულაციისა და ნაპრალო ცირკულაციის წყლებად. პირველი მათგანს, ანუ ფორული ცირკულაციის წყლებს შეიცავს მეოთხეული ასაკის კოლუვიური, პროლუვიური და ალუვიური გენეზისის გრუნტები, ხოლო მეორე მათგანი, - ნაპრალო ცირკულაციის წყლები, დაკავშირებულია კლდოვანი ქანების მასივთან და ცირკულირებს ამ ქანებში განვითარებულ სხვადასხვა გენეზისის ნაპრალო სისტემებში. საპროექტო ტერიტორიაზე ფოროვანი ცირკულაციის წყლებს შეიცავს აგრეთვე ხეობის ფერდობებსა და ფსკერზე არსებული ფლუვიურ-გლაციური ნალექების ფენებიც, რომელთა სისქე, არსებული ნაჩენების (გამიშვლებების) მიხედვით ზოგან ათეულობით მეტრია, თუმცა ეს უკანასკნელი გვირაბის განთავსების უბანზე და მიმდებარე ზონაში მხოლოდ მცირე ფრაგმენტების სახითაა წარმოდგენილი.

წინა წლებში ჩატარებული ჰიდროგეოლოგიური ლიტერატურული წყაროს მიხედვით (სსრკ ჰიდროგეოლოგია, ტომი-X, საქართველოს სსრ), ქვედა იურიული ფიქლები, რომლებითაც წარმოდგენილია საპროექტო ტერიტორიის ერთი ნაწილი, სპორადულადაა გაწყლიანებული. ისინი შეიცავენ ნაპრალოვანი ცირ-



ფსკერის გავლით, შემდეგ ინფილტრირდება ფერდობის ძირში დაგროვილ მსხვილმარცვლოვან ფხვიერ გრუნტებში და გამოსავალს პოულობს მისი ფუძის (გზის) გასწვრივ, ფრონტალური სახით.

### 3. ბრუნტების შედგენილობა, მდგომარეობა და ფიზიკურ-მექანიკური თვისებები

საინჟინრო-გეოლოგიური თვალსაზრისით, საავტომობილო გვირაბის გრუნტები იყოფა ორ კლასად: ხისტი სტრუქტურული კავშირების მქონე გრუნტები, ანუ კლდოვანი ქანები და გრუნტები, რომელთაც არ გააჩნიათ ხისტი სტრუქტურული კავშირები, ანუ არაკლდოვანი გრუნტები.

#### 3.1 კლდოვანი ქანები

დარიალი-ჰეს-ის ნაგებობათა კომპლექსის განთავსების ტერიტორიის ფარგლებში კლდოვანი მასივი წარმოდგენილია შემდეგი ძირითადი ლითოლოგიური სახესხვაობებით:

- თიხაფიქალი ალევროლიტებისა და ქვიშაქვის თხელი ზოლებით;
- ასპიდური ფიქალი ალევროლიტის თხელი ზოლებით;
- ნაცრისფერი, წვრილმარცვლოვანი არკოზული ქვიშაქვები;
- კვარციტები;
- მომწვანო ტუფო-ქვიშაქვები;
- ზოლებრივი მომწვანო და მონაცრისფრო რქაულები;
- გრანიტები;
- დიაბაზები;

ქანების აღნიშნული ლითოლოგიური სახესხვაობების ფენები და სხეულები გამოკვლეული ტერიტორიის სხვადასხვა ნაწილში ურთიერთმორიგეობის სხვადასხვა კომბინაციითა და მასისა და მოცულობის სხვადასხვა პროცენტული თანაფარდობითაა წარმოდგენილი. ამ ქვეთავში გრუნტების ცალკეული ტიპების ფიზიკურ-მექანიკური თვისებების შეფასების შემდეგ, მომდევნო თავში (თავი-4) მოცემულია გრუნტული პირობების შეფასება, გრუნტის თითოეული ტიპის ფიზიკურ-მექანიკური თვისებების მახასიათებელთა სიდიდეების საფუძველზე და ეს შეფასება გამომდინარეობს თითოეულ დასტაში ქანის ამა-თუ იმ ლითოლოგიური სახესხვაობის პროცენტული შემცველობიდან.

საკვლევი ნიმუშები ქანების ლითოლოგიური სახესხვაობებიდან აღებულია როგორც ჭაბურღილებიდან (ვერტიკალური და ჰორიზონტალური ჭაბურღილები), ასევე გაშიშვლებებიდან. გაშიშვლებებზე ნიმუშები აღებულია პორტატიული საბურღი დანადგარით გაბურღილ მცირე სიღრმის ჭაბურღილებში. ჭაბურღილებისა და ქანების ნიმუშების აღების ადგილები აღნიშნულია საინჟინრო-გეოლოგიურ რუკაზე (იხ. ანგარიშის გრაფიკული ნაწილი). ქანების სახესხვაობების კვლევის შედეგები მოცემულია ქვემოთ, ცხრილ-3.1-ში.

**ცხრილი-3.1 კლდოვანი ქანების ცალკეული ლითოლოგიური სახესხვაობების ფიზიკურ-მექანიკური თვისებების მახასიათებელთა მნიშვნელობები**

რიგითი №	ქანის ლითოლოგიური სახესხვაობის დასახელება	სიმკვრივე $\rho$ , გ/სმ <sup>3</sup>	სიმტკიცე ერთდერძა კუმშვაზე, $\sigma_{uc}$ მპა		სიმტკიცე წერტილოვან დატვირთვაზე		იუნის მოდული, E მპა	პუასონის კოეფიციენტი, $\mu$	ქანის საკლასიფიკაციო დასახელება
			მშრალი	წყალ-გაჯერებული	Is <sub>50</sub>	$\sigma_{uc}$ მპა			
1	თიხაფიქალი ალევროლიტებისა და ქვიშაქვის თხელი ზოლებით	2,70	69,81	58,93	2,65	61,32	48929	0,23	კლდოვანი ქანი მტკიცე
2	ასპიდური ფიქალი ალევროლიტის თხელი ზოლებით	2,8	86,43	83,65	2,71	65,9	50108	0,19	კლდოვანი ქანი მტკიცე
3	წვრილმარცვლოვანი არკოზული ქვიშაქვები	2,75	122,89	119,22	5,89	124,4	57872	0,20	კლდოვანი ქანი ძლიერ მტკიცე
4	კვარციტები	2,79	151,28	139,00	7,09	162,40	27829	0,17	კლდოვანი ქანი ძლიერ მტკიცე
5	მომწვანო ტუფო-ქვიშაქვები	2,63	102,50	86,45	5,01	114,86	25388	0,23	კლდოვანი ქანი მტკიცე
6	ზოლებრივი მომწვანო და მონაცრისფრო რქაულები	2,84	148,46	136,51	6,66	128,37	94520	0,29	კლდოვანი ქანი ძლიერ მტკიცე
7	გრანიტები	2,7	112,71	109,72	3,46	88,91	76927	0,18	კლდოვანი ქანი ძლიერ მტკიცე
8	ღიაბაზები	2,86	109,18	94,33	4,04	102,56	58862	0,15	კლდოვანი ქანი ძლიერ მტკიცე

გარდა ამისა, ქანების ძირითადი ლითოლოგიური სახესხვაობებისათვის განისაზღვრა დინამიკური თვისებების მახასიათებლები (ტალღების გავრცელების სიჩქარე, პუასონის კოეფიციენტი, დრეკადობის დინამიკური მოდული). შესაბამისი შედეგები მოცემულია ცხრილ-3.2-ში.

**ცხრილი-3.2 კლდოვანი ქანების დინამიკური თვისებების პარამეტრთა სიდიდეები**

ნაწენის N	$\rho$ , გ/სმ <sup>3</sup>	VP, მ/წმ	VS, მ/წმ	Vs/Vp	განივი დეფორმაციის (პუასონის) კოეფიციენტი $\mu$	დრეკადობის დინამიკური მოდული E, მპა	კლდოვანი ქანების დასახელება
1	2.70	2738	1600	0.58	0.24	17147.81	თიხაფიქალი
2	2.69	2659	1640	0.62	0.19	17252.03	თიხაფიქალი
3	2.82	3712	2318	0.62	0.18	35749.28	ღია-ნაცრისფერი ღიაბაზი
4	2.70	2688	1630	0.61	0.21	17332.74	თიხაფიქალი



ნაწილაკების წყობის სიმკვრივით **ფენა-1** ზედაპირზე ფხვიერი, სიღრმეში სუსტი და საშუალო სიმკვრივისაა. ფენის სისქე უბნის სხვადასხვა წერტილში განსაზღვრულია ვერტიკალური ელექტროზონდირებით და ასახულია უბნის განივ საინჟინრო-გეოლოგიურ ჭრილებზე.

**ფენა-2** – კაჭარი-40%, კენჭნარი-35% და ხრეში-15%, ქვიშის შემავსებლით-10%, მკვრივი. ცალკეული კაჭარის დიამეტრი შეადგენს 2-3 მ-ს (aQ<sub>4</sub>) გრუნტი ალუვიურ-პროლუვიური წარმოშობისაა (apQ<sub>4</sub>). იგი გავრცელებულია მდ. თერგის კალაპოტის მიმდებარე ზოლში. ფენის სისქე ცვალებადია.

ჭაბურღილიდან აღებული ფენის ნიმუშის ლაბორატორიული გამოკვლევის შედეგები მოცემულია ცხრილ-3.3-სა და 3.4-ში.

**ცხრილი-3.3 გრუნტის ფენა-2-ის გრანულომეტრიული შედეგნილობა**

რიგითი №	ჭაბურღილის №	ნიმუშის აღების ინტერვალი, მ	ფრაქციის შემცველობა ფენაში, %							
			კაჭარი >200.0	კენჭნარი 200.0-63.0	ხრეში 63.0-2.0	ქვიშა			მტვერი 0,04 - 0,002	თიხა < 0,002
						მსხვილი 1,18-0,600	საშუალო 0,425-0,212	წვრილი 0,150-0,063		
1	5	5.0-6.0	5,1	36,6	33,4	2,1	3,1	5,8	12,1	1,8

**ცხრილი-3.4 გრუნტის ფენა-2-ის ფიზიკური თვისებები**

რიგითი №	ჭაბურღილის №	ნიმუშის აღების ინტერვალი, მ	ტენიანობა, W%		პლასტიკურობა			კონსისტენციის მანკენუბელი, I <sub>L</sub>	სიმკვრივე, გრ/სმ <sup>3</sup>	
			ბუნებრივი	შემავსებელის	ზედა ზღვარი, W %	ქვედა ზღვარი, Wp%	პლასტიკურობის რიცხვი, Ip		მინერალური ნაწილაკების, ρ <sub>s</sub>	ნაყარ მდგომარეობაში, ρ
1	5	5.0-6.0	10,9	14,2	28,0	20,9	7,1	-0,94	2,65	1,90

ცხადია, რომ ფენიდან აღებული ნიმუშის გრანულომეტრიული ანალიზის შედეგში ვერ აისახა დიდი, ტლანქად დამრგვალებული ლოდების და კენჭების შემცველობა ალუვიური გრუნტის მასაში. მასში აისახა მხოლოდ დიდ ლოდებს შორის არსებული, შედარებით წვრილი ფრაქციების პროცენტული თანაფარდობა. ფენის საბოლოო აღწერა (კაჭარი-40%, კენჭნარი-35%, ხრეში-15%, ქვიშა-10%), გარდა ამ გრანულომეტრიული ანალიზის შედეგებისა, ემყარება საველე ვიზუალური გამოკვლევის მონაცემებსაც, რაც საინჟინრო-გეოლოგიური აგეგმვის დროს განხორციელდა. ამან საშუალება მოგვცა მიახლოებით შეგვეფასებინა **ფენა-2-ის** გრანულომეტრიული შედეგნილობა. ალუვიური გრუნტის ეს ფენა

მდინარის დონემდე ტენიანია, ხოლო მდინარის დონის დაბლა წყალგაჯერებული.

**შპნა-3** – კენჭნარი-40%, ხრეში-20%, კაჭარი-15-20%, სუსტად შეცემენტებული ქვიშნარ-თიხნარის შემავსებლით-20-25%. ფენა ფლუვიურ-გლაციური (მყინვარული) წარმოშობისაა (fgQ4). იგი ხეობის ფერდობებზე ბევრგანაა გაშიშვლებული, თუმცა საპროექტო გვირაბის განლაგების ზოლში მხოლოდ ჩრდილოეთი პორტალის უბანზე ფიქსირდება. ზოგან იგი შესაძლოა გამოვლინდეს **შპნა-1**-ის ქვეშ. რამდენადაც **შპნა-3** კვლევითი სამუშაოების დროს არცერთ ჭაბურღილში გამოვლენილი არ არის, შესაბამისად არ არის აღებული ნიმუში და არ არის გამოკვლეული მისი თვისებები. მისი შედგენილობა და მდგომარეობა აღწერილია საველე-ვიზუალური დაკვირვებებითა და შეფასებებით.



ცხრილი-4.2 ცალკეული ლითოსტრატოგრაფიული ერთეულების სიმკვრივისა და სიმტკიცის მახასიათებლების გაანგარიშების შედეგები

რიგითი №	ლითოსტრატოგრაფიული ერთეული	ქანების ფიზიკურ-მექანიკური თვისებების მახასიათებლები და მათი საშუალო შეწონილი მნიშვნელობები						
		ქანის დასახელება	სიმკვრივე ρ, გ/სმ <sup>3</sup>	სიმტკიცე ერთდერძა კუმშვაზე, σ <sub>uc</sub> , მპა				
				ბუნებრივი	წყალგაჯ.			
1	2.2 J <sub>1</sub> S - ქვედა იურა, სინემიური, კისტინკის წყება. შავი, ასპიდური ფიქლები თხელი ალევროლიტის ზოლებით, ნაცრისფერი წვრილ-მარცლოვანი არკოზული ქვიშაქვების (0.2-1.2მ), მოთეთრო კვარციტების (1-4მ), მომწვანო ტუფოქვიშაქვების შუაშრეებით (5-20მ), დიაბაზის დაიკებით. ასპიდური ფიქალი თხელი ზოლებით-47%, არკოზული ქვიშაქვა-20%, კვარციტების 9.9%, ტუფოქვიშაქვები -19%, დიაბაზი-4.1%	ასპიდური ფიქალი	2,8	2,76	86,43	104,13	83,65	97,21
		არკოზული ქვიშაქვა	2,75		122,9		119,2	
		კვარციტი	2,79		151,3		139	
		ტუფოქვიშაქვები	2,63		102,5		86,45	
		დიაბაზი	2,86		109,2		94,33	
2	γP <sub>3</sub> - ზედა პალეოზოური, დარიალის გრანიტული მასივი, გრანიტოიდები მილონიტიზირებული და დაფიქლებული, დიაბაზის დაიკებით. გრანიტოიდი - 90.8%, დიაბაზი - 9.2%	გრანიტოიდი	2,7	2,71	112,7	112,39	109,7	108,30
		დიაბაზი	2,86		109,2		94,33	

4.2 გეოდინამიკური პირობები

გეოდინამიკური თვალსაზრისით უპირველეს ყოვლისა აღსანიშნავია უბანზე მდ. დევედორაკის ძლიერი, ზოგჯერ კატასტროფული ღვარცოფების პერიოდული ჩამოსვლა მთა მყინვარწვერის (ყაზბეგის) ციცაბო ფერდობიდან, რის გამოც აქ განზრახულია საავტომობილო გვირაბის გაყვანა.

გვირაბის განლაგების ტერიტორიის ფარგლებში გეოდინამიკური ვითარება ყურადღებას იმსახურებს პორტალურ უბნებზე. ამ მხრივ უნდა აღინიშნოს კლდოვანი ფერდობების დიდი დახრილობა ორივე პორტალის თავზე. განსაკუთრებით საყურადღებოა ჩრდილოეთი პორტალი, რომელიც უშუალოდ მაღალი და ციცაბო ფერდობის ძირში იქნება განლაგებული. მშენებლობის დაწყებამდე საჭირო იქნება ფერდობის გაწმენდა მორყეული ლოდებისაგან და დამცავი ბადეების ან სხვა საშუალებების გამოყენება, როგორც გვირაბის მშენებლობის, ასევე ექსპლუატაციის პერიოდებში. მსგავსი ვითარებაა ამ თვალსაზრისით სამხრეთ პორტალზეც, რომლის ზემოთ ძველ ეროზიულ ხევში დაგროვილია კლდოვანი ნამსხვრევი მასალა, რომლის უმეტესი მასა მსხვილი

ლოდნარითაა წარმოდგენილი. ნამსხვრევი მასა ზედაპირულ ზონაში ფხვიერია და დროში განიცდის გადაადგილებას, რაც იწვევს პორტალის დასაცავი ღონისძიებების გატარების აუცილებლობას.

გვირაბის სამხრეთ პორტალზე გარკვეული საფრთხის შემცველია მის ზემოთ არსებული მშრალი ხევები, რომლებშიც დროებითი წყლის ნაკადები მოედინება მნიშვნელოვანი წვიმებისა და თოვლის დნობის დროს. საჭირო იქნება ამ ხევების კალაპოტების რეგულაცია და გამაგრება, რათა დაცული იქნეს გვირაბის პორტალი მისი მშენებლობისა და ექსპლუატაციის პერიოდებში.

გარდა ამისა, ამავე ხევების ფსკერზე დაგროვილი კოლუვიურ-პროლუვიური გრუნტებიდან (ფენა-1-დან) მუდმივად მოედინება მასში ფერდობის ზედა ნაწილიდან ინფილტრირებული წყალი, რომლის დებიტი შეადგენს 10 ლიტრს წამში. საჭირო იქნება ამ წყაროების კაპტაჟი და ორგანიზებული მოცილება გვირაბის პორტალიდან.

### 4.3 ქანების ნაპრალიანობა

კლდოვანი ქანების ნაპრალიანობის გამოკვლევის შედეგები განხილული იყო ზემოთ, 2.4 ქვეთავში. ნაპრალიანობა გამოკვლეულია კლდოვანი ქანების გავრცელების მთელ ტერიტორიაზე. გამოკვლევით მოცულია ქანების ყველა ლითოლოგიური სახესხვაობა და ლითოსტრატოგრაფიული ერთეული. გამოკვლევის მასალები დამუშავდა 2Dmove2.5 კომპიუტერულ პროგრამაში, გაკეთდა დიაგრამები და შეფასდა ნაპრალიანობის რაოდენობრივი მახასიათებლები.

#### 4.3.1 გრუნტის წყლები

როგორც ჰიდროგეოლოგიური პირობების აღწერაშიც იყო აღნიშნული, საპროექტო გვირაბის სამხრეთი პორტალის უბანზე, კლდოვანი ფერდობის ძირში დაგროვილი მსხვილნატეხოვანი კოლუვიურ-პროლუვიური ნალექების სქელ ფენაში დაფიქსირებულია გრუნტის წყლების ფრონტალური გამოსავალი 65-70 მ-მდე მანძილზე. წყაროების ჯამური დებიტი შეადგენს 10 ლიტრამდე წამში. სავარაუდოდ წყალი მოედინება ხეობის მარჯვენა ფერდობის მაღალი ნიშნულებიდან ხევების ფსკერის გავლით, შემდეგ ინფილტრირდება ფერდობის ძირში დაგროვილ მსხვილმარცვლოვან ფხვიერ გრუნტებში და გამოსავალს პოულობს მისი ფუძის (გზის) გასწვრივ, ფრონტალური სახით. გვირაბის სამხრეთი პორტალის მოწყობის პროექტში გათვალისწინებული უნდა იქნას ამ გრუნტის წყლების კაპტაჟი და პორტალიდან მათი ორგანიზებული მოცილება.

#### 4.3.2 წყალგამოვლენის ხასიათი გვირაბის გაყვანის დროს

გვირაბის განლაგების ტერიტორიის ჰიდროგეოლოგიური პირობები, ზოგადად, განხილული იყო ზემოთ, 2.6 ქვეთავში. აქ მოცემულია წყალგამოვლენის პროგნოზული შეფასება, რაც ემყარება ქანების ნაპრალიანობის, ტერიტორიაზე და ჰორიზონტალურ ჭაბურღილში მიწისქვეშა წყლების გამოვლენის, წყლების ქიმიზმის და სხვა ფაქტორების შესახებ კვლევებითა და ლიტერატურული წყაროებით მიღებულ ინფორმაციას. გვირაბში, ზოგადად, ადგილი ექნება ნაპრალოვანი ცირკულაციის უწნევო წყლების გამოვლენას, თუმცა დარიალი ჰესი-ის სადერივაციო გვირაბის გაყვანისას ლოკალურ უბნებზე ჩაკეტილი მცირე არეებიდან ადგილი ჰქონდა დროებითი ხასიათის მცირედ წნვიანი წყლების გამოვლენაც. პროგნოზული წყალმოდენა შეფასებულია აღნიშნულ

ფაქტორთა მიხედვით რამდენადმე ურთიერთგანსხვავებულ მონაკვეთებზე. ინფორმაცია გადმოცემულია ცხრილური სახით, გვირახის ტრასის პიკეტების მითითებით.

მასივის სტრუქტურის მახასიათებელი	წყლის ტიპი და მინერალიზაცია გრ/ლ	წყალმოდენის ხასიათი გვირაბში	დებიტი გვირაბის 1 გრძივ მეტრზე, ლ/წთ.	გვირაბის მონაკვეთი კკ+მ-დან კკ+მ-მდე
სინემიური მონოკლინი ფლესურული გადაღუნვით (J1S)	ჰიდროკარბონატულ-კალციუმიანი, 0.1-0.6	წვეთვა, ზოგან ძლიერი წვეთვა სუსტი ჭავლებით	0.2-4	0+00-3+35
დარიალის გრანიტული მასივი, დაფიქლებული, სუბვერტიკალური ფიქლებრიობით (YPz3)	ჰიდროკარბონატული 0.1-0.4	სუსტი წვეთვა. მცირე მონაკვეთებში ძლიერი წვეთვა	0.05-0.1	3.35-10+63

გვირაბის იმ მცირე მონაკვეთებზე, სადაც იგი გადაკვეთს მსხვილ ტექტონიკურ ნაპრალებს, მოსალოდნელია წყალმოდენა ხშირი წვეთვისა და წვრილი ჭავლების სახით. ასეთი ნაპრალების გამოვლენის სავარაუდო ადგილები აღნიშნულია ტერიტორიის საინჟინრო-გეოლოგიურ რუკაზე და გვირაბის საინჟინრო-გეოლოგიურ ჭრილებზე.

#### 4.3.3 ტემპერატურული პირობები

საპროექტო გვირაბის გეოთერმული გრადიენტის დადგენის მიზნით ჰორიზონტალურ ჭაბურღილში ჩატარდა ტემპერატურული გაზომვები, რის შედეგადაც ტემპერატურამ 19 და 90 მეტრ სიღრმეზე შესაბამისად შეადგინა 6.6288°C და 7.4022°C. ამ მონაცემების მიხედვით გათვლილი ტემპერატურული გრადიენტი შეადგენს:

$$\text{gradT} = (7.4022 - 6.6288) / \Delta H = 0.7734 / 71 = 0.01089$$

მოსალოდნელი მაქსიმალური ტემპერატურა საპროექტო გვირაბში, განისაზღვრება ფორმულით:

$$T_{\text{საანგ.}} = T_{90} + \Delta H \cdot \text{gradT}$$

ტემპერატურული გამოთვლები გვირაბის სხვადასხვა სიღრმისათვის მოყვანილი ქვემოთ:

გვირაბის განლაგების სიღრმე, მ	განაზომის სიღრმე	$\Delta H$	გაზომილი ტემპერატურა	ტემპერატურული გრადიენტი განაზომების მიხედვით	საანგარიშო ტემპერატურა t, გრადუსი
100	90	10	7,40216	0,010892394	7,51
150	90	60	7,40216	0,009336338	7,96
200	90	110	7,40216	0,009336338	8,43
250	90	160	7,40216	0,009336338	8,90
300	90	210	7,40216	0,009336338	9,36
350	90	260	7,40216	0,009336338	9,83

გვირაბის განლაგების სიღრმე, მ	განაზომის სიღრმე	$\Delta H$	გაზომილი ტემპერატურა	ტემპერატურული გრადიენტი განაზომების მიხედვით	საანგარიშო ტემპერატურა t, გრადუსი
400	90	310	7,40216	0,009336338	10,30
450	90	360	7,40216	0,009336338	10,76
500	90	410	7,40216	0,009336338	11,23
550	90	460	7,40216	0,009336338	11,70
600	90	510	7,40216	0,009336338	12,16
650	90	560	7,40216	0,009336338	12,63
700	90	610	7,40216	0,009336338	13,10
750	90	660	7,40216	0,009336338	13,56
800	90	710	7,40216	0,009336338	14,03
850	90	760	7,40216	0,009336338	14,50
900	90	810	7,40216	0,009336338	14,96
950	90	860	7,40216	0,009336338	15,43
1000	90	910	7,40216	0,010892394	17,31

#### 4.3.4 გაზგამოვლინება ქანებში

დარიალი ჰეს-ის სადერივაციო გვირაბის მთელ სგრძეზე (5 კმ) და მათ შორის საპროექტო საავტომობილო გვირაბის შესაბამის მონაკვეთში, მსუთავი, ფოტოგრაფიული ან სხვა რაიმე მანერაში აირების გამოვლენას ადგილი არ ჰქონია. ამდენად, მანერაში აირების გამოვლენა საპროექტო საავტომობილო გვირაბის გაყვანისას მოსალოდნელი არ არის.

#### 4.3.5 კლდოვანი მასივის შეფასება და კლასიფიკაცია

კლდოვანი მასივის გეოლოგიური სტრუქტურის ტიპის, ნაპრაღიანობის მახასიათებლების (ნაპრაღთა სისტემების რაოდენობა, ხორკლიანობა, შემავსებელი ნაპრაღებში, წყალმოდინების ხასიათი), ერთდერძა კუმშვაზე სიმტკიცის მნიშვნელობის, ქანების ხარისხის ინდექსის (RQD), გვირაბის ღერძის მიმართ ძირითადი სტრუქტურების ორიენტაციის ხასიათის და სხვა მიხედვით, გაკეთდა კლდოვანი მასივის ხარისხის კლასიფიკაცია გვირაბის მშენებლობისათვის. ხარისხის შეფასება გაკეთებულია დარიალი-ჰესის გვირაბების საშემსრულებლო დოკუმენტაციის მასალების ანალოგიის საფუძველზე ქანების შესაბამისი წყებების ფარგლებში.

საპროექტო საავტომობილო გვირაბის გასწვრივ მასივის საკლასიფიკაციო კომპონენტები ცვალებადია და ცალკეული მონაკვეთებისათვის მიღებულია კლდოვანი მასივის ხარისხის ინდექსის სხვადასხვა მნიშვნელობები. მიღებული შედეგები, გვირაბის სხვადასხვა ვარიანტებისათვის, მოცემულია ქვემოთ, ცხრილ-4.3-ში და ცხრილ-4.4-ში.

ცხრილი-4.3 მასივის ხარისხი გვირაბის I ვარიანტისათვის

გვირაბის მონაკვეთი	ლითსტრატოგრაფიული ერთეული (წყება)	მასივის ხარისხი	
		Q	კლასი
პკ 0+00 – პკ 0+63	cpQ <sub>IV</sub>	-	-
პკ 0+63 – პკ 1+46	J <sub>1S</sub>	11-18-75%	B კლასის ქანები (კარგი)
		4-9-15%	C კლასის ქანები (საშუალო)
		1-2-10%	D კლასის ქანები (ცუდი)
პკ 1+46 – პკ 1+52	J <sub>1S</sub>	1-2	D კლასის ქანები (ცუდი)
პკ 1+52 – პკ 3+34		16-22-89%	B კლასის ქანები (კარგი)
		6-10-6%	C კლასის ქანები (საშუალო)
	1-2-5%	D კლასის ქანები (ცუდი)	
პკ 3+34 – პკ 3+39	yPz <sub>3</sub>	1-2	D კლასის ქანები (ცუდი)
პკ 3+39 – პკ 4+38		14-34	B კლასის ქანები (კარგი)
პკ 4+38 – პკ 4+44		1-2	D კლასის ქანები (ცუდი)
პკ 4+44 – პკ 4+56		16-32	B კლასის ქანები (კარგი)
პკ 4+56 – პკ 4+62		1-2	D კლასის ქანები (ცუდი)
პკ 4+62 – პკ 5+01		19-26	B კლასის ქანები (კარგი)
პკ 5+01 – პკ 5+07		1-2	D კლასის ქანები (ცუდი)
პკ 5+07 – პკ 6+38		18-26	B კლასის ქანები (კარგი)
პკ 6+38 – პკ 6+49		1-2	D კლასის ქანები (ცუდი)
პკ 6+49 – პკ 7+34		16-40	B კლასის ქანები (კარგი)
პკ 7+34 – პკ 7+87		8-9	C კლასის ქანები (საშუალო)
პკ 7+87 – პკ 7+92		1-2	D კლასის ქანები (ცუდი)
პკ 7+92 – პკ 9+16		16-18	B კლასის ქანები (კარგი)
პკ 9+16 – პკ 9+22		1-2	D კლასის ქანები (ცუდი)
პკ 9+22 – პკ 9+54		16-18	B კლასის ქანები (კარგი)
პკ 9+54 – პკ 9+60		1-2	D კლასის ქანები (ცუდი)
პკ 9+60 – პკ 9+72		16-18	B კლასის ქანები (კარგი)
პკ 9+72 – პკ 9+78		1-2	D კლასის ქანები (ცუდი)
პკ 9+78 – პკ 11+00		16-18	B კლასის ქანები (კარგი)

ცხრილი-4.4 მასივის ხარისხი გვირაბის II ვარიანტისათვის

გვირაბის მონაკვეთი	ლითსტრატოგრაფიული ერთეული (წყება)	მასივის ხარისხი	
		Q	კლასი
პკ 0+00 – პკ 0+24	cpQ <sub>IV</sub>	-	-
პკ 0+24 – პკ 1+65	J <sub>1S</sub>	11-18-75%	B კლასის ქანები (კარგი)
		4-9-15%	C კლასის ქანები (საშუალო)
		1-2-10%	D კლასის ქანები (ცუდი)
პკ 1+65 – პკ 1+73	J <sub>1S</sub>	1-2	D კლასის ქანები (ცუდი)
პკ 1+73 – პკ 4+45		16-22-89%	B კლასის ქანები (კარგი)
		6-10-6%	C კლასის ქანები (საშუალო)
	1-2-5%	D კლასის ქანები (ცუდი)	
პკ 4+45 – პკ 4+51	yPz <sub>3</sub>	1-2	D კლასის ქანები (ცუდი)
პკ 4+51 – პკ 4+92		14-34	B კლასის ქანები (კარგი)



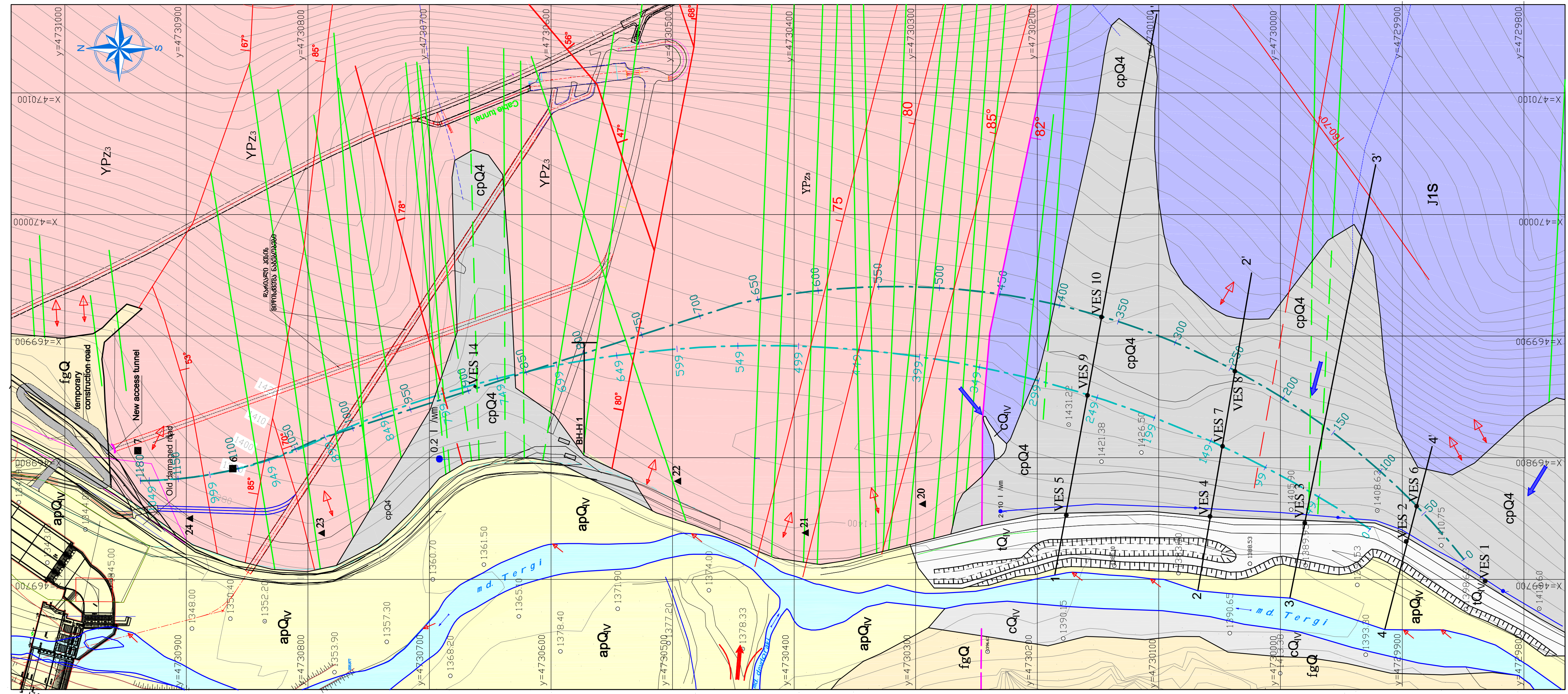
- ფერდობი უნდა გაიწმინდოს არამდგრადი ლოდებისაგან და გატარდეს ღონისძიებები მათი მდგრადობის უზრუნველსაყოფად;
- 5.5 ჰიდროგეოლოგიური პირობების მიხედვით, სამხრეთი პორტალის მიმდებარე გარკვეული მონაკვეთის ფარგლებში, გვირაბში მოსალოდნელია უფრო მეტი წყალმოდენა ჩრდილოეთ მონაკვეთთან შედარებით, რაც განპირობებული იქნება პორტალის თავზე არსებული კოლუვიურ-პროლუვიური შლეფის გაწყლიანებით, ფერდობის ზედა ნაწილიდან მომდინარე წყლის ნაკადებისაგან. გვირაბის ამ ნაწილში მოსალოდნელია წყალმოდენა ხშირი წვეთვისა ჭავლების სახით, ხოლო გვირაბის დანარჩენ ნაწილში მოსალოდნელი წყალმოდენა წვეთვის ან ხშირი წვეთვის სახით;
- 5.6 გვირაბში არ არის მოსალოდნელი ჯანმთელობისათვის მავნე ან ფეთქებადსაშიში გაზების გამოვლენა;
- 5.7 კლდოვანი მასივის ხარისხი შეფასებულია დარიალი-ჰესის გვირაბების გაყვანის დროს გაკეთებული დოკუმენტაციის საფუძველზე, რის მიხედვითაც გვირაბის თითოეულ ვარიანტში მოსალოდნელია B (კარგი), C (საშუალო) და D (ცუდი) კლასის ქანების გამოვლენა (იხ. ცხრილები 4.3 და 4.4). მათი პროცენტული განაწილება, გვირაბების ვარიანტების მიხედვით, მოცემულია ცხრილებში 5.1 და 5.2.

*ცხრილი-5.1 ქანების ხარისხი გვირაბის I ვარიანტში*

ქანების კლასი	% მასივში
B კლასი	84.88
C კლასი	7.37
D კლასი	7.75

*ცხრილი-5.2 ქანების ხარისხი გვირაბის II ვარიანტში*

ქანების კლასი	% მასივში
B კლასი	84.42
C კლასი	7.78
D კლასი	7.80



ქრობის ტიპის სანიტარული

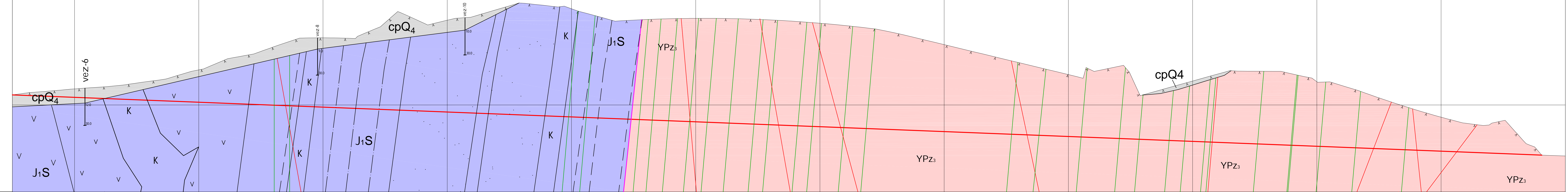
-  - მეტეული სისტემა. ტანამდროვე ნალექები, გრილი. რორ-რი, ხვინა, ხრესი, I ოდების და კალარის სანიტარული
-  - მეტეული სისტემა. ტანამდროვე ნალექები, კოლუვიური. რორ-რი და ხვინა, I ოდების სანიტარული
-  - მეტეული სისტემა. ტანამდროვე ნალექები, კოლუვიური-პროლივიური. რორ-რი-37% და ხვინა-32%, I ოდების სანიტარული ობი-15%, კვისარ-ტიხარის სანიტარული ი-16%
-  - მეტეული სისტემა. ტანამდროვე ნალექები, ალუვიური-პროლივიური. კალარი-40%, კენწარი-35% და ხრესი-15%, კვისარის სანიტარული ი-10%, მკვირი. კალკული და კალარის დიამეტრი სანიტარული 2-3 მ-ს
-  - მეტეული სისტემა. ფლუვიო-გლაციური ნალექები. კენწარი-40%, ხრესი-20%, კალარი-15-20%, სუსტად სეცემებული და კვისარ-ტიხარის სანიტარული ი-20-25%
-  - ჯედი პოლიეზიური, ვრდის და სასუალი მარცხენი ოვანი მილიონიზებული, დაფიკებული და გრანიტოიდი
-  - კისტინის ვეხა (ჯედი ნაწილი), ჯედი იურა სინიური. სავი ფერის ასპირული ფიკული. ალევოლი იტების ტელი უფრო რია ფერის ჯოლი ები ტა ნაცრისფერი არკოული და კვისარის, მოტეორო კვარციტების და ნომვანო ტუფოვი საყების სუაგრები ტ.
-  - დიაბაზის დაიკა
-  - გეოლოგიური საზღვარი
-  - გრანიტოიდების და დანალექი ვეხების პროტრუზული საზღვარი
-  - ტექტონიკური რევეა
-  - მსხვილი ტექტონიკური ნაწილები, მიმართება და დარღობის კუთხე
-  - მდინარის ნაპირების გამოცეხვა და დასია (გვერდითი ეროზია)
-  - ღვაწვენი
-  - რვარცოფი
-  - ტოვის სავალი
-  - ვარი, მისი ნომერი (7) და დებიტი (2)
-  - გრუნტის წილების ფრონტული გამოსავალი
-  - ჰორიზონტული ურეზი და მისი ნომერი
-  - ვერტიკალური ელექტრონიკების ვერტიკალი და მისი ნომერი
-  - კლინოვანი ნაწილები ნაწილის გამოვლილი ევის ადგილები
-  - კლინოვანი ნაწილები ნიმუშების აწილების ადგილები
-  - განვი საინჟინრო-გეოლოგიური ვრდის ხაზი და მისი ნომერი (1-1)
-  - საპროექტო საავტომობილო გვირგვინის რეკონსტრუქციის I ვარიანტი
-  - საპროექტო საავტომობილო გვირგვინის რეკონსტრუქციის II ვარიანტი

	<p>საქართველოს, დარღობის ხეობის გზის აქალის გვირგვინის და ესტაკადის გეოტექნიკური გამოვლილი ევა</p>	
	<p>საინჟინრო-გეოლოგიური რუკა</p>	<p>GC-1701-1 შპს "საინჟინრო-გეოლოგია"</p>
	<p>მასშტაბი 1:2000</p>	<p>თარიღი: 2017 წელი</p>



1400

1300



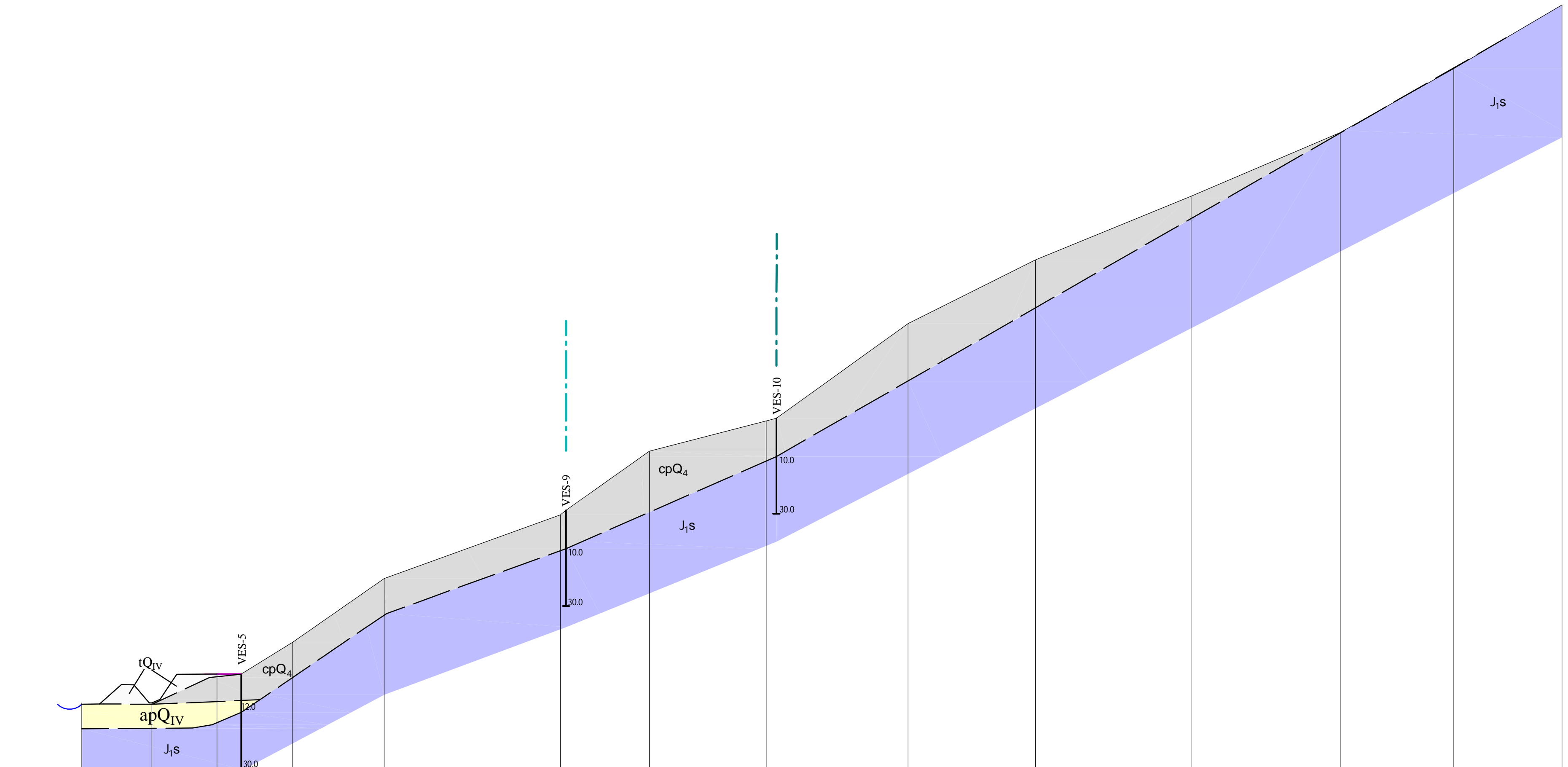
- პირობითი არჩევანი**
- cpQ<sub>IV</sub>** - მეოთხედიანი სისტემა. თანამედროვე ნალექები, კოლუვიური-პროლივიური. რორი-37% და ხვინვა-32%, 1-ობის სემცვლი-15%, ვისარ-ტიხარის სემავსები-16%
  - J<sub>1</sub>S** - კისტინკის ვეხა (ზედა ნაწილი). ვედა იურა, სინემური. სავი-ფერის ასპიდური-ფიქლები, ალ-ევროლიტის-ქელი-უფრო-ლია-ფერის-ზოლები-და-ნაცრისფერი-არკოზული-ვი-საყების, მოტეტრო-კვარცხები-და-მომწვანო-ტუფოვი-საყების-სუაშრები-ტ.
  - YPZ<sub>3</sub>** - ზედა პალეოზოური, დარიალ-გრანიტული-მასივი, დაფიქლებული, სუბვეტიკალი-ფიქლები-ტ. ცდილი-და-განების (75-85 °) ტექტონიკური-ნაპრები-ტ.
  - diabazის დაიკა
  - გეოლოგიური-საზღვარი
  - გრანიტოიდების-და-დანალ-ეკვივების-პროტრუზული-საზღვარი
  - ტექტონიკური-რევა
  - მსხვილი-ტექტონიკური-ნაპრები, მარტება-და-დახრის-კუთხე
  - VES-7 - ვეტიკალი-ელ-ეკვოზონდირების-ვეტილი-და-მისი-ნომერი

სტრუქტურული-ტექტონიკური-მაქსიატები-ები	J <sub>1</sub> S ვედა იურა, სინემური, კისტინკის ვეხა, სამხრეთ-საქართველოს (75-85 °) დახრილი მონოკლინი, სუაწილი-სი-დამრეცი-მორფოლოგიის-ფიქსურული-გადარევი-ტ		YPZ <sub>3</sub> - ზედა პალეოზოური, დარიალ-გრანიტული-მასივი, დაფიქლებული, სუბვეტიკალი-ფიქლები-ტ. ცდილი-და-განების (75-85 °) ტექტონიკური-ნაპრები-ტ											
კლინოვანი-განების-დახასიათება	სავი-ასპიდური-ფიქლები, ქელი-ალ-ევროლიტის-ქელი-და-ნაცრისფერი-ვრული-მარცხ-ოვანი-არკოზული-ვი-საყების (0.2-1.2m), მოტეტრო-კვარცხების (1-4m), მომწვანო-ტუფოვი-საყების-სუაშრები-ტ (3-20m), დიაბაზის-დაიკები-ტ		გრანიტოიდი-მილი-ონიტიზებული-და-დაფიქლებული, დიაბაზის-დაიკები-ტ											
კლინოვანი-განების-ფიზიკურ-მეგანიკური-ტვის-სახის-მაქსიატები-ები	ასპიდური-ფიქლები-ქელი-ზოლები-4.7%, არკოზული-ვი-საყების-20%, კვარცხების-9.9%, ტუფოვი-საყების-19%, დიაბაზი-4.1%		გრანიტოიდი - 90.8%, დიაბაზი - 9.2%											
ნაპრა-იანობა	საშუალო-სეონილი: ρ = 2.72 გრ/სმ <sup>3</sup> ; σ <sub>uc dry</sub> = 112.18 მპა; σ <sub>uc sat</sub> = 107.43 მპა		გრანიტოიდი: ρ = 2.70 გრ/სმ <sup>3</sup> ; σ <sub>uc dry</sub> = 112.71 მპა; σ <sub>uc sat</sub> = 109.72 მპა; დიაბაზი: ρ = 2.86 გრ/სმ <sup>3</sup> ; σ <sub>uc dry</sub> = 109.18 მპა; σ <sub>uc sat</sub> = 94.33 მპა; საშუალო-სეონილი: ρ = 2.71 გრ/სმ <sup>3</sup> ; σ <sub>uc dry</sub> = 112.39 მპა; σ <sub>uc sat</sub> = 108.3 მპა											
ვრცელ-გამოცდების-ხასიათი	Zირი-ტადი-ნაპრა-ები-მარტება-და-გვირბის-რეზის-სორის-კუთხე-სპედგენს-70-80 °, ნაპრა-ები-დახრილი-ობა-სედგენს-50-80 °, ნაპრა-ები-სორის-მანტილი-საშუალო-დან-ბი-ოკურანდე (60-200 სმ), ნაპრა-ტა-ზედაპირები-ზირი-ტადი-ხორკლიანი		Zირი-ტადი-ნაპრა-ები-მარტება-და-გვირბის-რეზის-სორის-კუთხე-სპედგენს-70-72 °, ნაპრა-ები-დახრილი-ობა-და-სედგენს-50-80 °, ნაპრა-ები-სორის-მანტილი-საშუალო-დან-ბი-ოკურანდე (60-200 სმ), ნაპრა-ტა-ზედაპირები-ზირი-ტადი-ხორკლიანი											
Q (კლინოვანი-განების-ხარისხის-მაშვენებელი)	Q = 11-18 - 75% (კარგი, B კლასის-განები) Q = 4-9 - 15% (საშუალო, C კლასის-განები) Q = 1-2 - 10% (ცუდი, D კლასის-განები)		Q = 16-22 - 89% (კარგი, B კლასის-განები) Q = 6-10 - 6% (საშუალო, C კლასის-განები) Q = 1-2 - 5% (ცუდი, D კლასის-განები)											
ნიშნები	1412.90	1428.24	1454.04	1468.23	1477.49	1469.73	1465.80	1448.58	1424.45	1419.29	1408.71	1390.17		
მანტილები	-49	100	100	100	100	100	100	100	100	100	100	100		
პიკეტი	-49	0	1	2	3	4	5	6	7	8	9	10	11	12

**Sps J eoinjirini**  
საინჟინრო-კვი-ვა-ზება,  
დაპროექტება, მსენები-ობა

საინჟინრო-გეოლოგიური-ვრული-ები  
გვირბის-გრძივი-ვრული-ები  
მასშტაბი 1:1000

საინჟინრო-გეოლოგიური-ვრული-ები  
GC-1701-3  
თარიღი: 2017 წლის



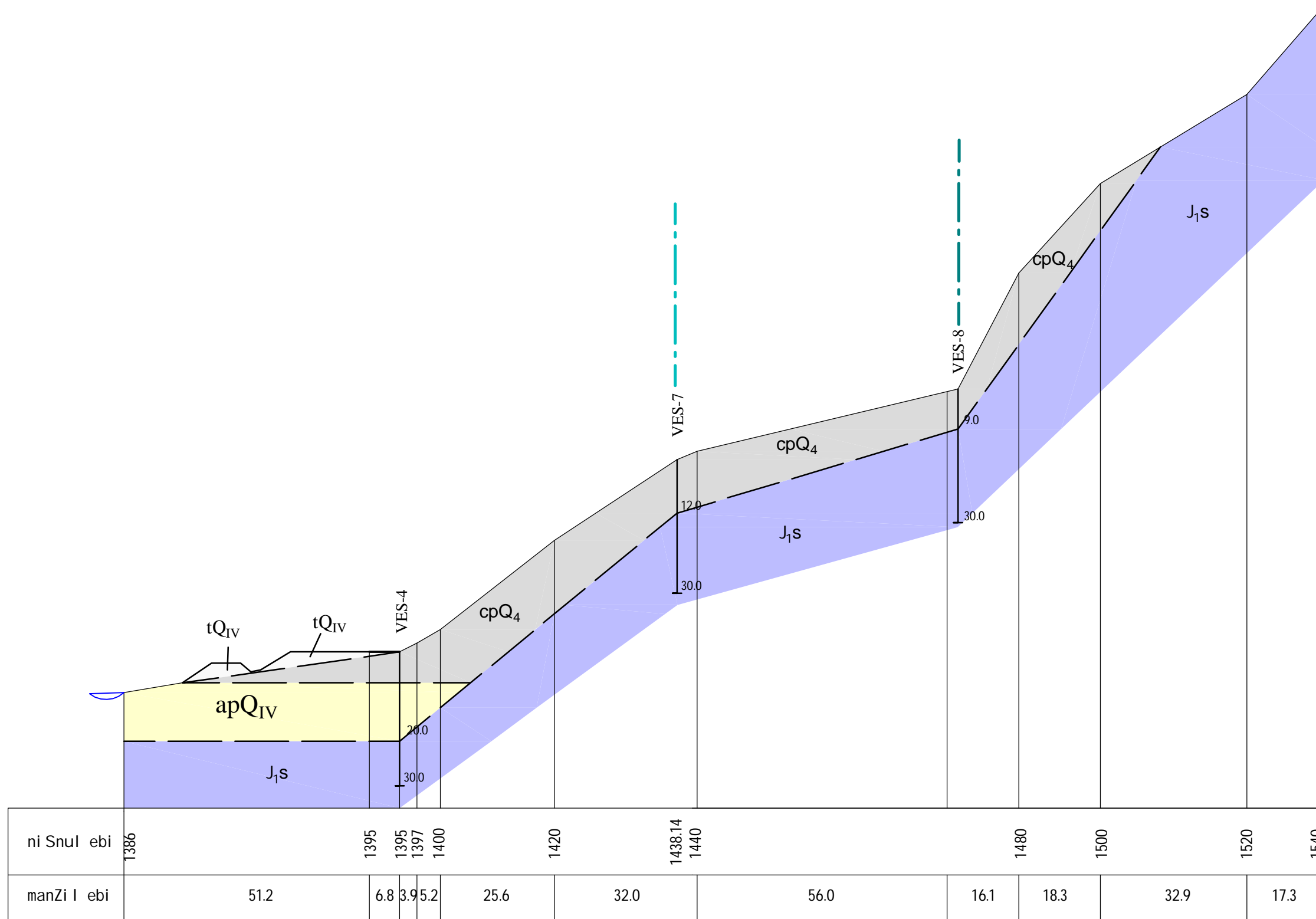
ნიშნები	1380	1381	1390	1390	1400	1420	1440 1441.4	1460	1470.3	1500	1520	1540	1560	1580	1600
მანძილები		22.1	20.4	7.6	16.2	28.7	55.3	27.9	36.7	44.5	40.0	48.9	46.8	35.6	34.0

პირობითი არისვები

- tQ<sub>IV</sub>** - მეოთხეული სისტემა. თანამდროვე ნალექები, ყრილი. რორი, ხვინა, ხრესი, ოდების და კალარის ცანარტები
- cQ<sub>IV</sub>** - მეოთხეული სისტემა. თანამდროვე ნალექები. კოლუვირი. რორი და ხვინა, ოდების სემცვლი ობი
- cpQ<sub>IV</sub>** - მეოთხეული სისტემა. თანამდროვე ნალექები. კოლუვირ-პროლივივი. რორი-37% და ხვინა-32%, ოდების სემცვლი ობი-15%, ჟისნარ-ტიხნარის სემავსები-16%
- apQ<sub>IV</sub>** - მეოთხეული სისტემა. თანამდროვე ნალექები. ალუვირ-პროლივივი. კალარი-40%, კენწარი-35% და ხრესი-15%, ჟისნარ სემავსები-10%, მკვირი. კალკული კალარის დიამეტრი სეადგენს 23 მ-ს
- J<sub>1S</sub>** - ზედა პოლივივი. ვრული და სასული მარცხი ოვანი მილიტიზირებული, დაფიქებული გრანიტოიდეები
- გეოლოგიური საზღვარი
- ვერტიკალი ელექტროზონდირების ვერტიკალი და მისი ნომერი
- საპროექტო საავტომობილო გვირაბის რეზი. I ვარიანტი
- საპროექტო საავტომობილო გვირაბის რეზი. II ვარიანტი

**სპეციალური რეგულირების სამსახური**  
საქართველოს იმერეთის გეოლოგიური სამსახური

პრობლემატიკის აღწერა



tQ<sub>IV</sub>

- მეოთხეული სისტემა. ტანამდროვე ნალექები. ყრილი. რორი, ხვინა, ხრესი, I ოდების დაკარგვის სარტყელი

cQ<sub>IV</sub>

- მეოთხეული სისტემა. ტანამდროვე ნალექები. კოლუვიური. რორი და ხვინა, I ოდების შემცველი

cpQ<sub>IV</sub>

- მეოთხეული სისტემა. ტანამდროვე ნალექები. კოლუვიურ-პროლივიური. რორი-37% და ხვინა-32%, I ოდების შემცველი IT-15%, კვინარ-ტიხნარის შემავსელი IT-16%

apQ<sub>IV</sub>

- მეოთხეული სისტემა. ტანამდროვე ნალექები. ალუვიურ-პროლივიური. დაკარგვის-40%, კენჭარი-35% და ხრესი-15%, კვინარის შემავსელი IT-10%, მკვრივი. ცალკეული დაკარგვის დიამეტრი შეადგენს 2-3 მ-ს

J<sub>1S</sub>

- ზედა პლეისტოცენური. ვრდის და სასუბო მარცვლიანი მილიტარიზებული, დაფიქსირებული გრანიტოიდი

—

- გეოლოგიური საზღვარი

VES-9  
30.0

- ვერტიკალი ელექტროზონდირების ვერტიკალი და მისი ნომერი

— · — · —

- საპროექტო საავტომობილო გვირაბის რეკონსტრუქციის I ვარიანტი

— · — · —

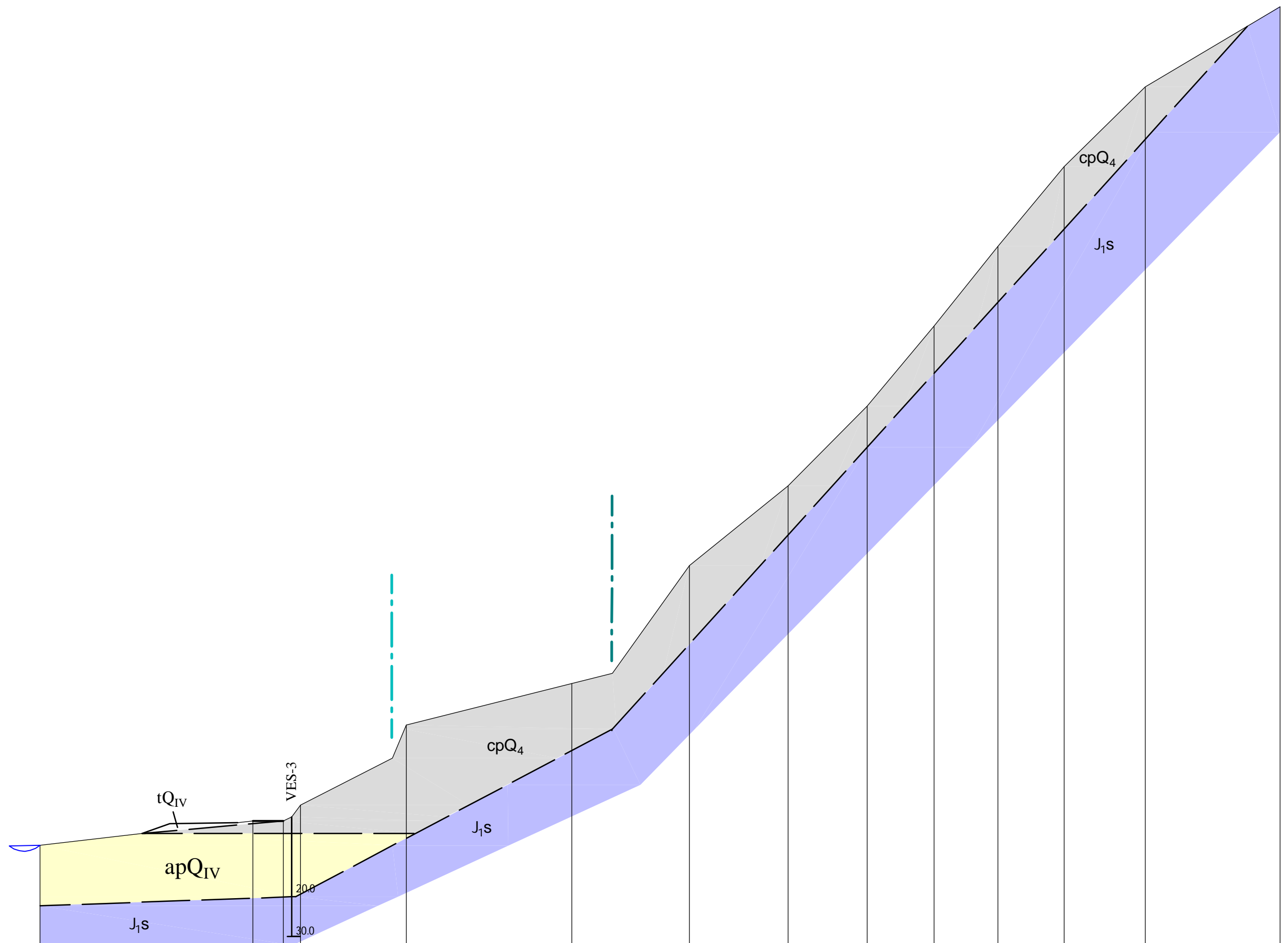
- საპროექტო საავტომობილო გვირაბის რეკონსტრუქციის II ვარიანტი



საქართველოს, დარიალის ხეობის გზის აქალაქის გვირაბის და ესტაკადის გეოტექნიკური გამოკვლევა	
საინჟინრო-გეოლოგიური ვრდისები	
განივი ვრდისი 2-2'	GC-1701-4.2
მასშტაბი 1:1000	შპს "სპეციალური ინჟინერი" №2 რაიონული საბჭო
	თარიღი: 2017 წლის

პრობლემატიკის სურათი

- t<sub>Q<sub>IV</sub></sub> - მეოთხედიანი სისტემა. ტანამდროვე ნალექები. ყრული. როორი, ხვინა, ხრეში, ოდებები და კაშის სანაბრები
- c<sub>Q<sub>IV</sub></sub> - მეოთხედიანი სისტემა. ტანამდროვე ნალექები. კოლ უვიური. როორი და ხვინა, ოდებები სემცელი ობიტი
- cp<sub>Q<sub>IV</sub></sub> - მეოთხედიანი სისტემა. ტანამდროვე ნალექები. კოლ უვიური-პროლ უვიური. როორი-37% და ხვინა-32%, ოდებები სემცელი ობიტი-15%, კვისარ-ტიხნარის სემავსელი ობიტი-16%
- ap<sub>Q<sub>IV</sub></sub> - მეოთხედიანი სისტემა. ტანამდროვე ნალექები. ალ უვიური-პროლ უვიური. კაშის-40%, კენხარის-35% და ხრეში-15%, კვისის სემავსელი ობიტი-10%, მკვირვი. კალკული კაშის დიამეტრი სეადგენს 2-3 მ-ს
- J<sub>1s</sub> - ზედა პოლიეზიური. ვრული და სასულო მარცხლი ოვანი მილიონიტიზირებული, დაფიკლებული გრანიტოიდეები
- - გეოლოგიური საზღვარი
- VES-9  
30.0 - ვერტიკალიური ექვოზონდირების ვერტიკალიური და მისი ნომერი
- · - · - საპროექტო საავტომობილო გვირაბის რეკონსტრუქციის I ვარიანტი
- · - · - საპროექტო საავტომობილო გვირაბის რეკონსტრუქციის II ვარიანტი



ნიშნები	1390	1396	1396	1397	1400	1411.7	1420	1460	1480	1500	1520	1540	1560	1580	1600
მანძილები	50.8	7.6	2.2	2.2	26.5	41.5	29.5	24.7	19.8	16.8	16.0	16.6	20.3	33.8	

**სპეციალური ინჟინერი  
საინჟინრო კვლევების  
დაპროექტების მსახურით**

საქართველოს, დარღვივის ხეობის გზის  
აქსიური გვირაბის და ესტაკადის  
გეოტექნიკური გამოკვლევა

საინჟინრო-გეოლოგიური ვრული

განივი ვრული 3-3'

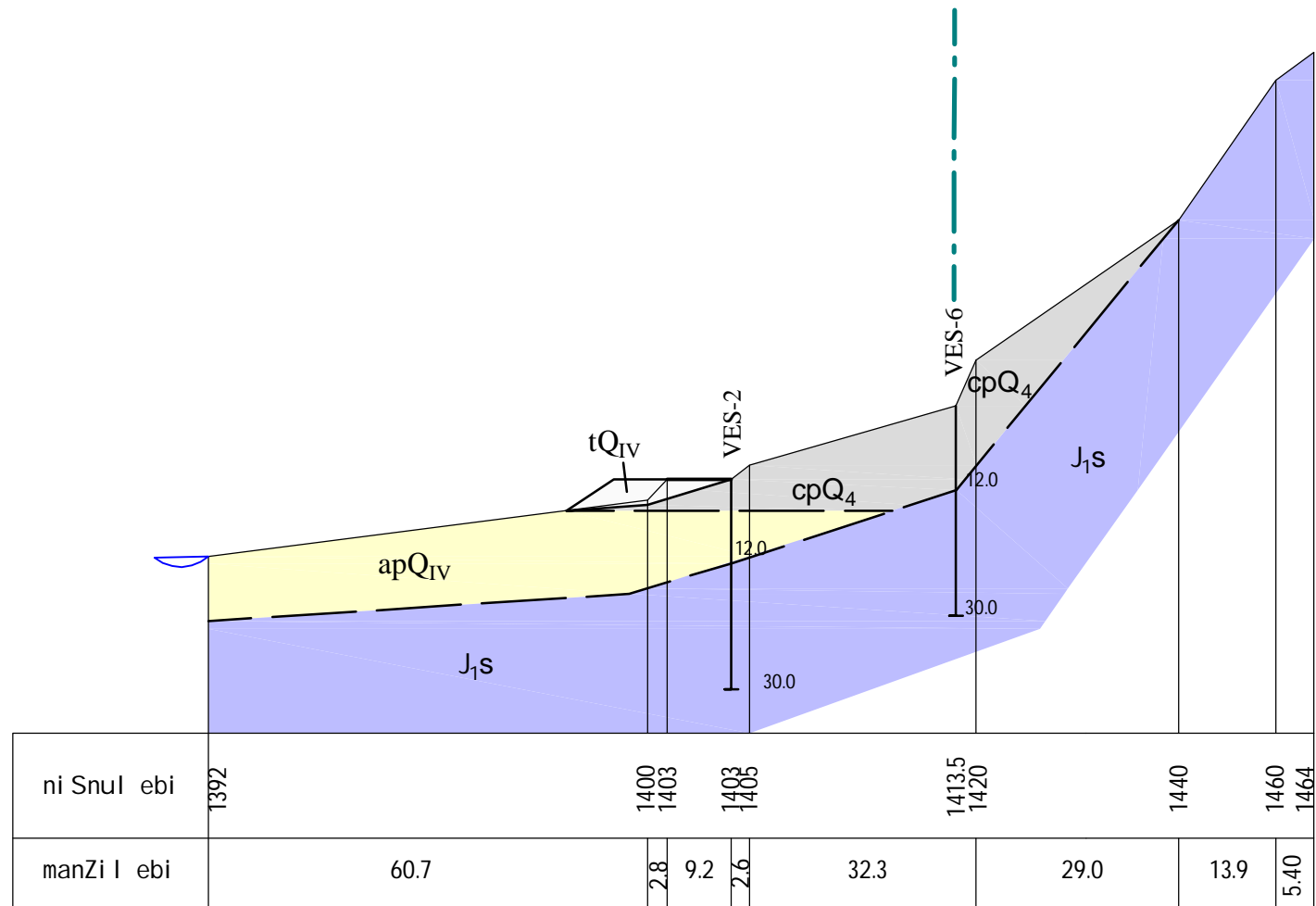
მასშტაბი 1:1000

GC-1701-4.3

შპს "საინჟინრო-გეოლოგია"

თარიღი: 2017 წელი

პრობლემატიკის სურათი



$tQ_{IV}$

- მეოთხედიანი სისტემა. ტანამდროვე ნალექები. ყრილი. რორი, ხვინა, ხრეში, I ოდების და კაშის სარტეხი

$cQ_{IV}$

- მეოთხედიანი სისტემა. ტანამდროვე ნალექები. კოლ უიური. რორი და ხვინა, I ოდების სემცველი

$cpQ_{IV}$

- მეოთხედიანი სისტემა. ტანამდროვე ნალექები. კოლ უიური-პროლი უიური. რორი-37% და ხვინა-32%, I ოდების სემცველი 15%, კვინარ-ტიხნარის სემცველი 16%

$apQ_{IV}$

- მეოთხედიანი სისტემა. ტანამდროვე ნალექები. ალ უიური- პროლი უიური. კაშის-40%, კენინარი-35% და ხრეში-15%, კვისის სემცველი 10%, მკვირი. კალკული და კაშის დიამეტრი სემცველი 2-3 მს

$J_1S$

- ზედა პოლიეზირი. ვრული და სასუალი მარცხი ოვანი მილიტიზირებული, დაფიქსირებული გრანიტოიდი

—

- გეოლოგიური საზღვარი

VES-9  
30.0

- ვერტიკალი ურედი ეკვოზონდირების ვერტიკალი და მისი ნომერი

— · — · — ·

- საპროექტო საავტომობილო გვირაბის რეზი. I ვარიანტი

— · — · — ·

- საპროექტო საავტომობილო გვირაბის რეზი. II ვარიანტი

<p>სპეციალური ინჟინერი საინჟინრო კვლევა-ძიება, დაპროექტება, მშენებლობა</p>	საერთაშორისო, დარღვივების შეფასების გზის აქსიალური გვირაბის და ესტაკადის გეოტექნიკური გამოკვლევა	
	საინჟინრო-გეოლოგიური ვრცელები	
	განივი ვრცელება 4-4'	GC-1701-4.4
	მასშტაბი 1:1000	შედეგები №4   რეკონსტრუქცია თარიღი: 2017 წელი

ხელშეკრულება/Contract No. GC-1701

პროექტის დასახელება: საქართველოში, დარიალის ხეობაში გზის ახალი გვირაბის და ესტაკადის გეოტექნიკური გამოკვლევა

**Project Name:** Provision of Geotechnical Investigation for New Road Tunnel and Overpass in Dariali Valley, Georgia

**ვერტიკალური ელექტროწონდირების შედეგები, ჯამური ცხრილი**

**Results of Vertical Electric Sounding, Total Table**

ვეზის № VES №	ქანების სიღრმული ბანჯაგება, მ Layer depth, m	ელექტრო- წინააღობა ρ ომ.მ Electric Resistivity, ρ ohm. m	ვეზ-ის კოორდინატები VES Coordinates	
			X	Y
VES-1	0,0-12,0	500	469698	4729832
	12,0-30,0	200		
VES-2	0,0-12,0	450	469731	4729896
	12,0-30,0	190		
VES-3	0,0-20,0	500	469747	4729980
	20,0-30,0	150		
VES-4	0,0-20,0	500	469751	4730058
	20,0-30,0	220		
VES-5	0,0-12,0	500	469753	4730176
	12,0-30,0	200		
VES-6	0,0-12,0	800	469760	4729888
	12,0-30,0	250		
VES-7	0,0-12,0	950	469810	4730048
	12,0-30,0	250		
VES-8	0,0-9,0	960	469871	4730038
	9,0-30,0	210		
VES-9	0,0-10,0	980	469852	4730158
	10,0-30,0	220		
VES-10	0,0-10,0	970	469916	4730147
	10,0-30,0	190		

**ხელშეკრულება №GC-1701**

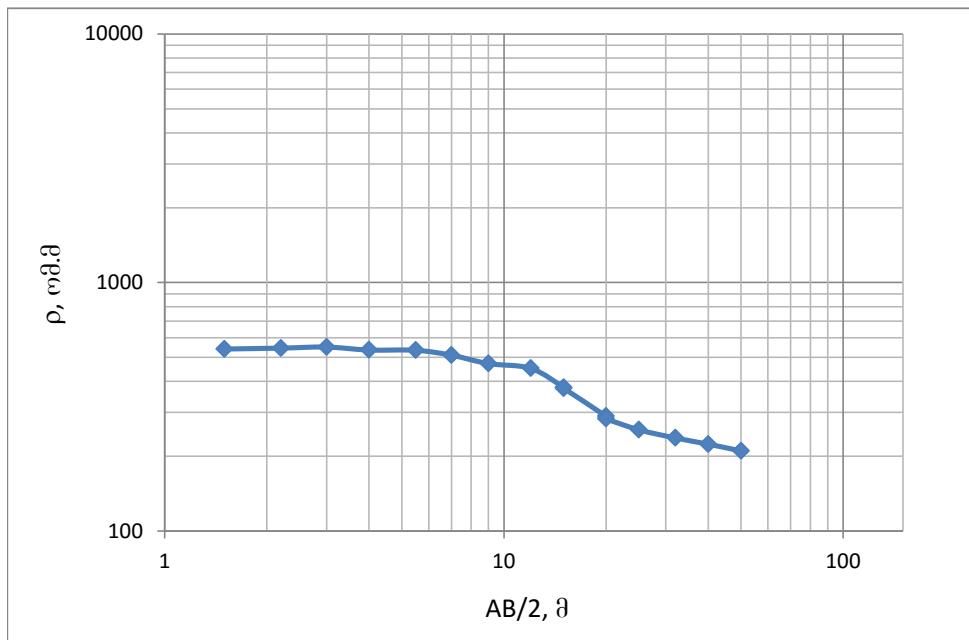
**პროექტის დასახელება:** საქართველოში, დარიალის ხეობაში გზის ახალი გვირაბის და ესტაკადის გეოტექნიკური გამოკვლევა

**ადგილმდებარეობა:**

X	Y
469698	4729832

**შპს №1**

№	AB/2	MN	K'	K	$\Delta V$	l	$\rho$
1	1.5	1		0.628	860	1	540.08
2	2.2	1		1.44	870	2.3	544.70
3	3	1		2.75	120	0.6	550.00
1	4	1		4.95	200	1.85	535.14
2	5.5	1		9.42	85	1.5	533.80
3	7	1		15.3	30	0.9	510.00
1	9	1		25.36	80	4.3	471.81
2	12	1		45.14	39	3.9	451.40
3	15	1		70.5	22	4.1	378.29
3	15	10		6.28	245	4.1	375.27
1	20	1		125.52	12	5.2	289.66
1	20	10		11.78	125	5.2	283.17
2	25	10	196.17	18.84	80	5.9	255.46
3	32	10	321.45	31.37	37	4.9	236.88
1	40	10		49.45	19	4.2	223.70
2	50	10		77.72	10	3.7	210.05



**მიღებული შედეგები**

ვეზ-ის №	ქანების სიღრმეული განლაგება, მ	ელექტროწინალობა $\rho$ ომ.მ
1	0,0-12,0	500
	12,0-30,0	200

**ხელშეკრულება №GC-1701**

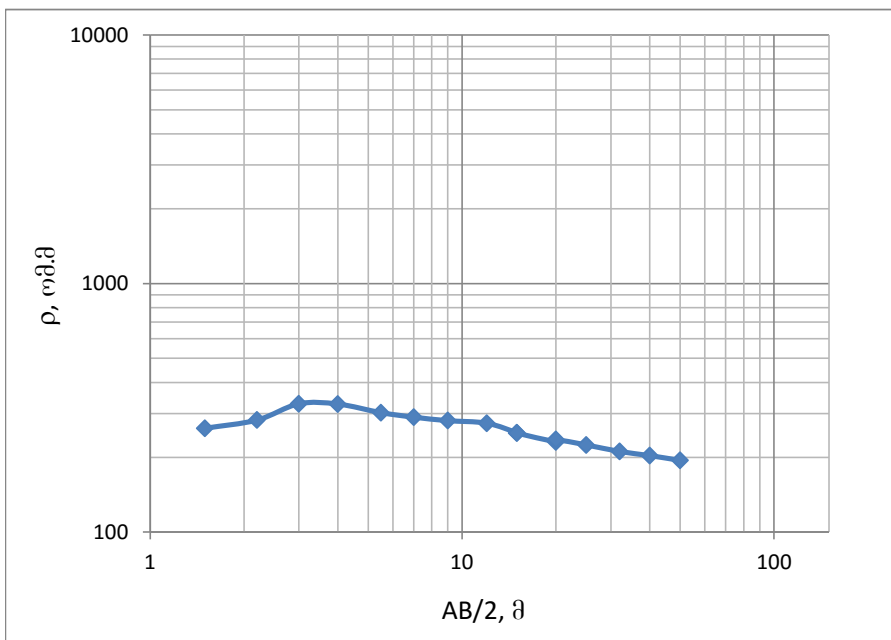
**პროექტის დასახელება:** საქართველოში, დარიალის ხეობაში გზის ახალი გვირაბის და ესტაკადის გეოტექნიკური გამოკვლევა

**ადგილმდებარეობა:**

X	Y
469731	4729896

**ჰეზ №2**

№	AB/2	MN	K'	K	$\Delta V$	I	$\rho$
1	1.5	1		0.628	500	1.2	261.67
2	2.2	1		1.44	980	5	282.24
3	3	1		2.75	800	6.7	328.36
1	4	1		4.95	430	6.5	327.46
2	5.5	1		9.42	260	8.1	302.37
3	7	1		15.3	127	6.7	290.01
1	9	1		25.36	62	5.6	280.77
2	12	1		45.14	48	7.9	274.27
3	15	1		70.5	21	5.9	250.93
3	15	10		6.28	235	5.9	250.14
1	20	1		125.52	9	4.9	230.55
1	20	10		11.78	98	4.9	235.60
2	25	10	196.17	18.84	75	6.3	224.29
3	32	10	321.45	31.37	37	5.5	211.03
1	40	10		49.45	11.5	2.8	203.10
2	50	10		77.72	12.5	5	194.30



**მიღებული შედეგები**

ჰეზ-ის №	ქანების სიღრმული განლაგება, მ	ელექტროწინაღობა $\rho$ ომ.მ
2	0,0-12,0	450
	12,0-30,0	190

**ხელშეკრულება №GC-1701**

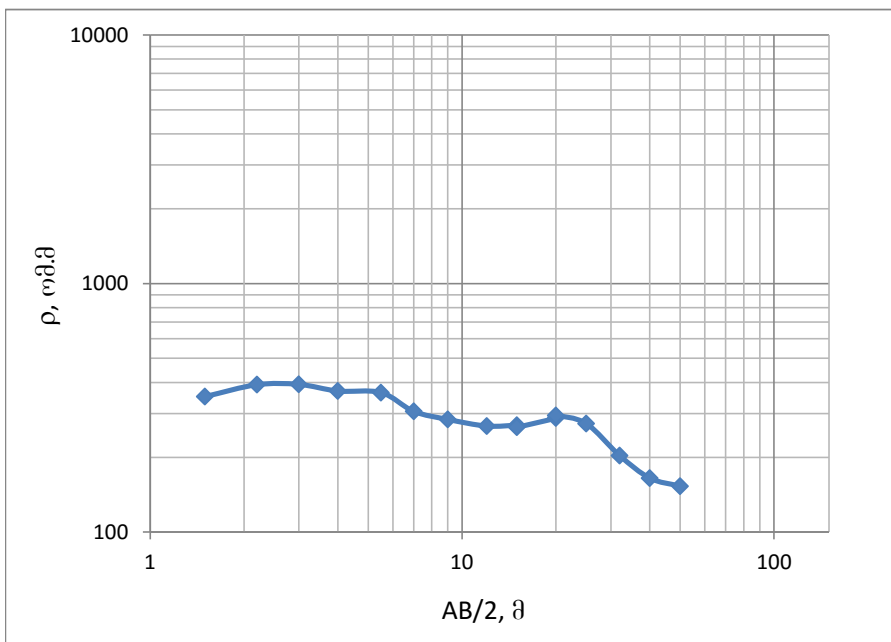
**პროექტის დასახელება:** საქართველოში, დარიალის ხეობაში გზის ახალი გვირაბის და ესტაკადის გეოტექნიკური გამოკვლევა

**ადგილმდებარეობა:**

X	Y
469747	4729980

**შეზ №3**

№	AB/2	MN	K'	K	ΔV	I	ρ
1	1.5	1		0.628	950	1.7	350.94
2	2.2	1		1.44	680	2.5	391.68
3	3	1		2.75	700	4.9	392.86
1	4	1		4.95	500	6.7	369.40
2	5.5	1		9.42	58	1.5	364.24
3	7	1		15.3	110	5.5	306.00
1	9	1		25.36	84	7.5	284.03
2	12	1		45.14	42	7.1	267.03
3	15	1		70.5	14.5	3.8	269.01
3	15	10		6.28	160	3.8	264.42
1	20	1		125.52	11	4.8	287.65
1	20	10		11.78	120	4.8	294.50
2	25	10	196.17	18.84	90	6.2	273.48
3	32	10	321.45	31.37	57	8.8	203.19
1	40	10		49.45	11	3.3	164.83
2	50	10		77.72	6.3	3.2	153.01



**მიღებული შედეგები**

კეზ-ის №	ქანების სიღრმული განლაგება, მ	ელექტროწინაღობა ρ ომ.მ
3	0,0-20,0	500
	20,0-30,0	150

**ხელშეკრულება №GC-1701**

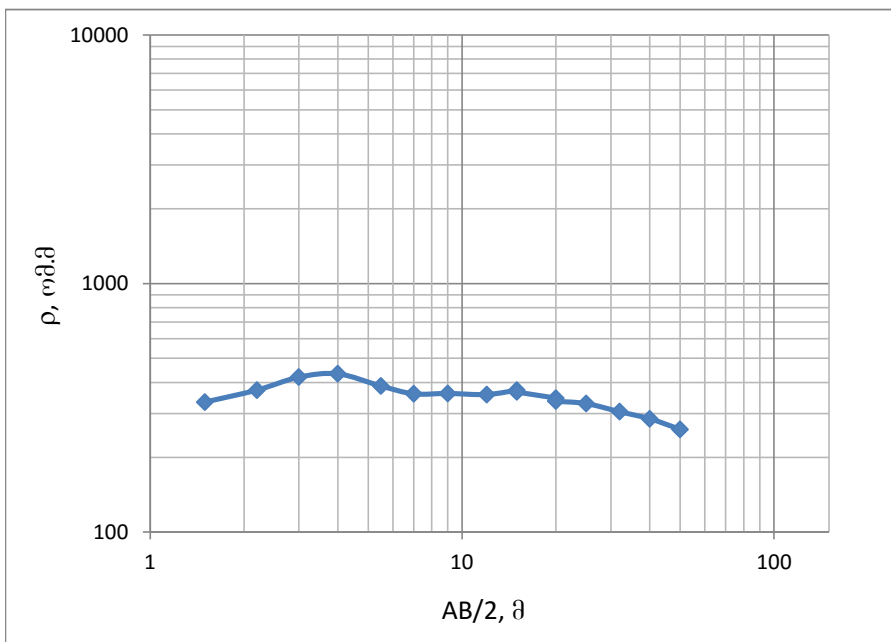
**პროექტის დასახელება:** საქართველოში, დარიალის ხეობაში გზის ახალი გვირაბის და ესტაკადის გეოტექნიკური გამოკვლევა

**ადგილმდებარეობა:**

X	Y
469751	4730058

**შეზ №4**

№	AB/2	MN	K'	K	$\Delta V$	I	$\rho$
1	1.5	1		0.628	850	1.6	333.63
2	2.2	1		1.44	880	3.4	372.71
3	3	1		2.75	550	3.6	420.14
1	4	1		4.95	210	2.4	433.13
2	5.5	1		9.42	152	3.7	386.98
3	7	1		15.3	80	3.4	360.00
1	9	1		25.36	47	3.3	361.19
2	12	1		45.14	42	5.3	357.71
3	15	1		70.5	19	3.6	372.08
3	15	10		6.28	210	3.6	366.33
1	20	1		125.52	7.7	2.8	345.18
1	20	10		11.78	80	2.8	336.57
2	25	10	196.17	18.84	62	3.55	329.04
3	32	10	321.45	31.37	35	3.6	304.99
1	40	10		49.45	26	4.5	285.71
2	50	10		77.72	10.3	3.09	259.07



**მიღებული შედეგები**

შეზ-ის №	ქანების სიღრმული განლაგება, მ	ელექტროწინაღობა $\rho$ ომ.მ
4	0,0-20,0	500
	20,0-30,0	220

**ხელშეკრულება №GC-1701**

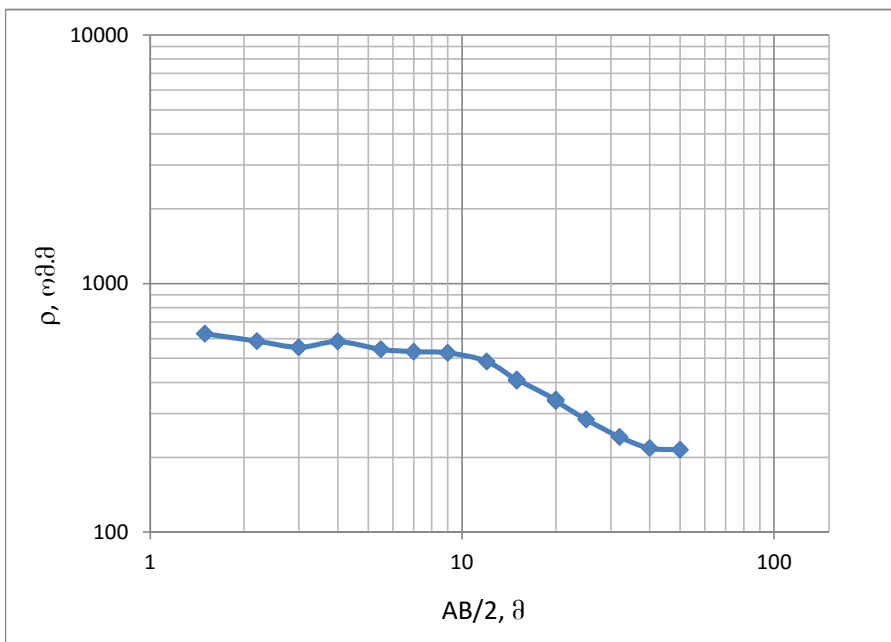
**პროექტის დასახელება:** საქართველოში, დარიალის ხეობაში გზის ახალი გვირაბის და ესტაკადის გეოტექნიკური გამოკვლევა

**ადგილმდებარეობა:**

X	Y
469753	4730176

**შეზ №5**

№	AB/2	MN	K'	K	$\Delta V$	I	$\rho$
1	1.5	1		0.628	300	0.3	628.00
2	2.2	1		1.44	220	0.54	586.67
3	3	1		2.75	135	0.67	554.10
1	4	1		4.95	59	0.5	584.10
2	5.5	1		9.42	45	0.78	543.46
3	7	1		15.3	24	0.69	532.17
1	9	1		25.36	8.3	0.4	526.22
2	12	1		45.14	28	2.6	486.12
3	15	1		70.5	15	2.6	406.73
3	15	10		6.28	170	2.6	410.62
1	20	1		125.52	1.9	0.7	340.70
1	20	10		11.78	20	0.7	336.57
2	25	10	196.17	18.84	12.8	0.85	283.71
3	32	10	321.45	31.37	5	0.65	241.31
1	40	10		49.45	11	2.5	217.58
2	50	10		77.72	6.9	2.5	214.51



**მიღებული შედეგები**

შეზ-ის №	ქანების სიღრმული განლაგება, მ	ელექტროწინაღობა $\rho$ ომ.მ
5	0,0-12,0	500
	12,0-30,0	200

**ხელშეკრულება №GC-1701**

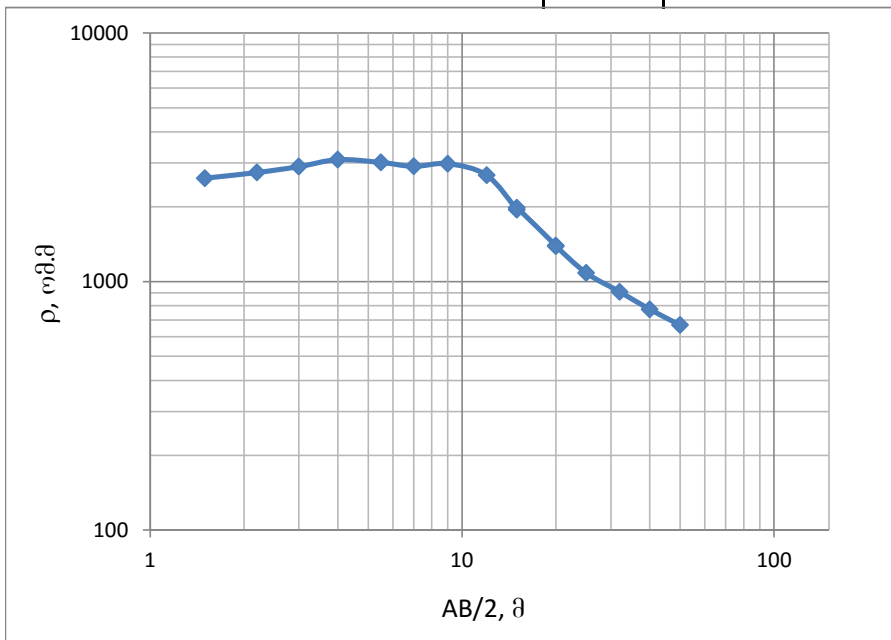
**პროექტის დასახელება:** საქართველოში, დარიალის ხეობაში გზის ახალი გვირაბის და ესტაკადის გეოტექნიკური გამოკვლევა

**ადგილმდებარეობა:**

X	Y
469760	4729888

**ჰეზ №6**

№	AB/2	MN	K'	K	$\Delta V$	I	$\rho$
1	1.5	1		0.628	415	0.1	2606.20
2	2.2	1		1.44	286	0.15	2745.60
3	3	1		2.75	232	0.22	2900.00
1	4	1		4.95	200	0.32	3093.75
2	5.5	1		9.42	160	0.5	3014.40
3	7	1		15.3	95	0.5	2907.00
1	9	1		25.36	47	0.4	2979.80
2	12	1		45.14	25.5	0.43	2676.91
3	15	1		70.5	10.5	0.38	1948.03
3	15	10		6.28	120	0.38	1983.16
1	20	1		125.52	5	0.45	1394.67
1	20	10		11.78	53	0.45	1387.42
2	25	10	196.17	18.84	23	0.4	1083.30
3	32	10	321.45	31.37	8.7	0.3	909.73
1	40	10		49.45	5	0.32	772.66
2	50	10		77.72	4.3	0.5	668.39



**მიღებული შედეგები**

ჰეზ-ის №	ქანების სიღრმული განლაგება, მ	ელექტროწინაღობა $\rho$ ომ.მ
6	0,0-12,0	800
	12,0-30,0	250

**ხელშეკრულება №GC-1701**

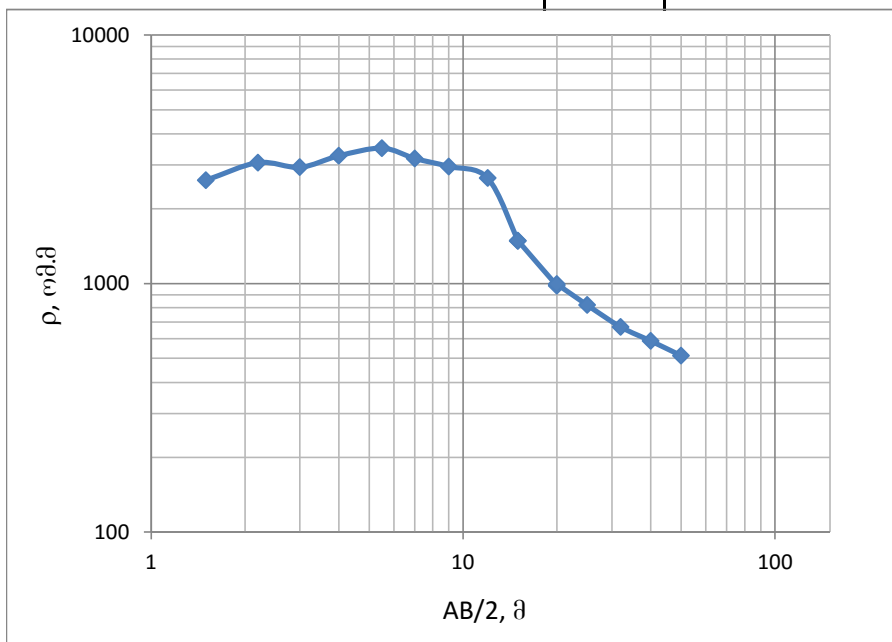
**პროექტის დასახელება:** საქართველოში, დარიალის ხეობაში გზის ახალი გვირაბის და ესტაკადის გეოტექნიკური გამოკვლევა

**ადგილმდებარეობა:**

X	Y
469810	4730048

**ჰეზ №7**

№	AB/2	MN	K'	K	$\Delta V$	I	$\rho$
1	1.5	1		0.628	415	0.1	2606.20
2	2.2	1		1.44	830	0.39	3064.62
3	3	1		2.75	630	0.59	2936.44
1	4	1		4.95	330	0.5	3267.00
2	5.5	1		9.42	160	0.43	3505.12
3	7	1		15.3	125	0.6	3187.50
1	9	1		25.36	35	0.3	2958.67
2	12	1		45.14	10	0.17	2655.29
3	15	1		70.5	8	0.38	1484.21
3	15	10		6.28	90	0.38	1487.37
1	20	1		125.52	2.5	0.32	980.63
1	20	10		11.78	27	0.32	993.94
2	25	10	196.17	18.84	10	0.23	819.13
3	32	10	321.45	31.37	6.4	0.3	669.23
1	40	10		49.45	3.8	0.32	587.22
2	50	10		77.72	3.3	0.5	512.95



**მიღებული შედეგები**

ჰეზ-ის №	ქანების სიღრმული განლაგება, მ	ელექტროწინაღობა $\rho$ ომ.მ
7	0,0-12,0	950
	12,0-30,0	250

**ხელშეკრულება №GC-1701**

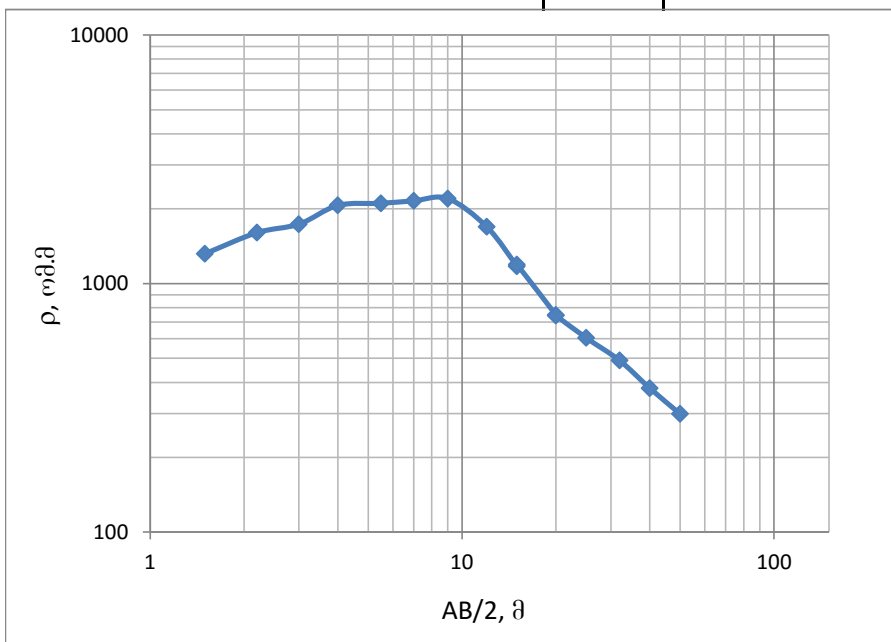
**პროექტის დასახელება:** საქართველოში, დარიალის ხეობაში გზის ახალი გვირაბის და ესტაკადის გეოტექნიკური გამოკვლევა

**ადგილმდებარეობა:**

X	Y
469871	4730038

**შეზ №8**

№	AB/2	MN	K'	K	$\Delta V$	I	$\rho$
1	1.5	1		0.628	420	0.2	1318.80
2	2.2	1		1.44	445	0.4	1602.00
3	3	1		2.75	145	0.23	1733.70
1	4	1		4.95	175	0.42	2062.50
2	5.5	1		9.42	67	0.3	2103.80
3	7	1		15.3	45	0.32	2151.56
1	9	1		25.36	26	0.3	2197.87
2	12	1		45.14	12	0.32	1692.75
3	15	1		70.5	5	0.3	1175.00
3	15	10		6.28	57	0.3	1193.20
1	20	1		125.52	2.5	0.42	747.14
1	20	10		11.78	26.5	0.42	743.26
2	25	10	196.17	18.84	13.8	0.43	604.63
3	32	10	321.45	31.37	5	0.32	490.16
1	40	10		49.45	2.3	0.3	379.12
2	50	10		77.72	2	0.52	298.92



**მიღებული შედეგები**

შეზ-ის №	ქანების სიღრმული განლაგება, მ	ელექტროწინაღობა $\rho$ ომ.მ
8	0,0-9,0	960
	9,0-30,0	210

**ხელშეკრულება №GC-1701**

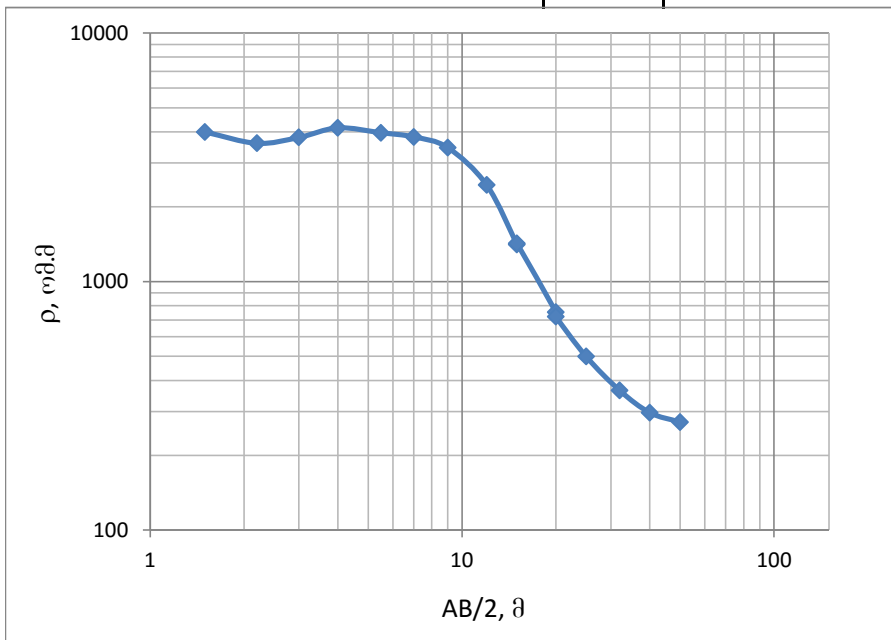
**პროექტის დასახელება:** საქართველოში, დარიალის ხეობაში გზის ახალი გვირაბის და ესტაკადის გეოტექნიკური გამოკვლევა

**ადგილმდებარეობა:**

X	Y
469852	4730158

**პეზი №9**

№	AB/2	MN	K'	K	$\Delta V$	I	$\rho$
1	1.5	1		0.628	700	0.11	3996.36
2	2.2	1		1.44	250	0.1	3600.00
3	3	1		2.75	760	0.55	3800.00
1	4	1		4.95	470	0.56	4154.46
2	5.5	1		9.42	295	0.7	3969.86
3	7	1		15.3	139.8	0.56	3819.54
1	9	1		25.36	45	0.33	3458.18
2	12	1		45.14	26	0.48	2445.08
3	15	1		70.5	12	0.6	1410.00
3	15	10		6.28	136	0.6	1423.47
1	20	1		125.52	0.9	0.15	753.12
1	20	10		11.78	9.2	0.15	722.51
2	25	10	196.17	18.84	5.3	0.2	499.26
3	32	10	321.45	31.37	5	0.43	364.77
1	40	10		49.45	3	0.5	296.70
2	50	10		77.72	1.05	0.3	272.02



**მიღებული შედეგები**

პეზი-ის №	ქანების სიღრმული განლაგება, მ	ელექტროწინაღობა $\rho$ ომ.მ
9	0,0-10,0	980
	10,0-30,0	220

**ხელშეკრულება №GC-1701**

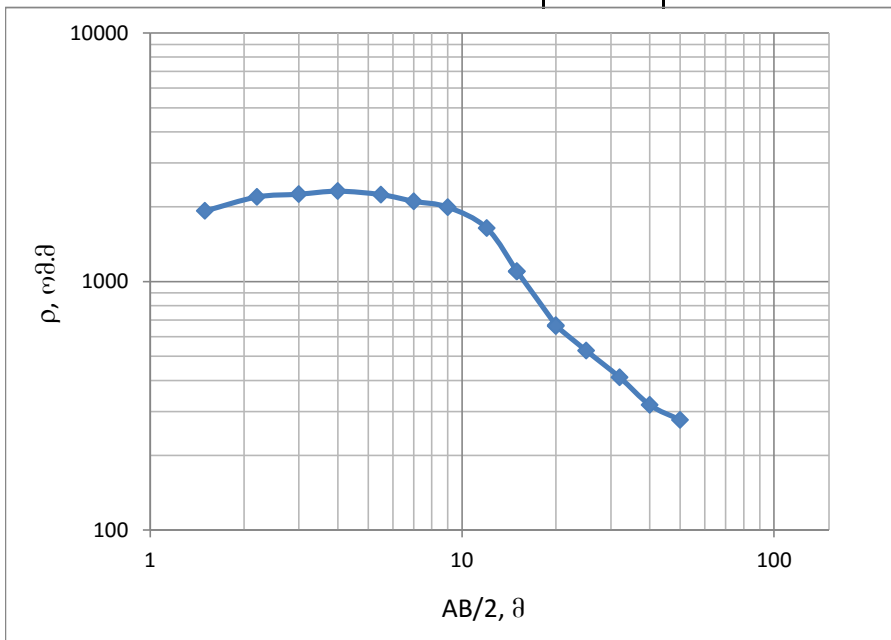
**პროექტის დასახელება:** საქართველოში, დარიალის ხეობაში გზის ახალი გვირაბის და ესტაკადის გეოტექნიკური გამოკვლევა

**ადგილმდებარეობა:**

X	Y
469916	4730147

**შპს №10**

№	AB/2	MN	K'	K	$\Delta V$	I	$\rho$
1	1.5	1		0.628	245	0.08	1923.25
2	2.2	1		1.44	760	0.5	2188.80
3	3	1		2.75	980	1.2	2245.83
1	4	1		4.95	560	1.2	2310.00
2	5.5	1		9.42	190	0.8	2237.25
3	7	1		15.3	110	0.8	2103.75
1	9	1		25.36	110	1.4	1992.57
2	12	1		45.14	80	2.2	1641.45
3	15	1		70.5	42	2.7	1096.67
3	15	10		6.28	473	2.7	1100.16
1	20	1		125.52	17	3.2	666.83
1	20	10		11.78	180	3.2	662.63
2	25	10	196.17	18.84	42	1.5	527.52
3	32	10	321.45	31.37	21	1.6	411.73
1	40	10		49.45	5.8	0.9	318.68
2	50	10		77.72	2.5	0.7	277.57



**მიღებული შედეგები**

კვზ-ის №	ქანების სიღრმული განლაგება, მ	ელექტროწინაღობა $\rho$ ომ.მ
10	0,0-10,0	970
	10,0-30,0	190

**ფოტოდოკუმენტაცია**

**პროექტის დასახელება:** GC-1701. საქართველოში, დარიალის ხეობაში გზის ახალი გვირაბის და ესტაკადის გეოტექნიკური გამოკვლევა  
**Project name:** GC-1701. Provision of Geotechnical Investigation for New Road Tunnel and Overpass in Dariali Valley, Georgia

ფოტო-1. გვირაბის სამხრეთი პორტალის უბანი  
Pic-1. The south portal site of the tunnel



ფოტო-2. გრუნტების ელექტროზონდირება გვირაბის სამხრეთი პორტალის უბანზე  
Pic-2. Electrical Resistivity Test at the south portal site of the tunnel



**ფოტოდოკუმენტაცია**

**პროექტის დასახელება:** GC-1701. საქართველოში, დარიალის ხეობაში გზის ახალი გვირაბის და ესტაკადის გეოტექნიკური გამოკვლევა  
Project name: GC-1701. Provision of Geotechnical Investigation for New Road Tunnel and Overpass in Dariali Valley, Georgia

**ფოტო-3.** კლდოვან ქანებზე დაღეკილი კოლუვიურ-პროლუვიური ნალექები, გვირაბის სამხრეთი ნაწილის უბანზე

Pic-3. Colluvial-proluvial sediments deposited on rocks at the south portal site of the tunnel

